

روش های عددی در الکترومغناطیس

مدرس: سید محمد مهدی میرطلائی

1



سر فصل درس

❖ مقدمه

❖ روش تفاضل محدود (FDM)

❖ روش اجزای محدود (FEM)

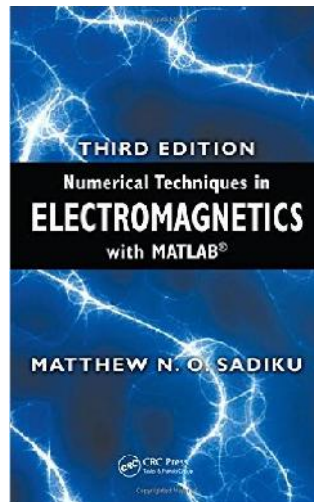
❖ روش ممان (MOM)

2



مراجع

1. Numerical Techniques in Electromagnetics - Sadiku

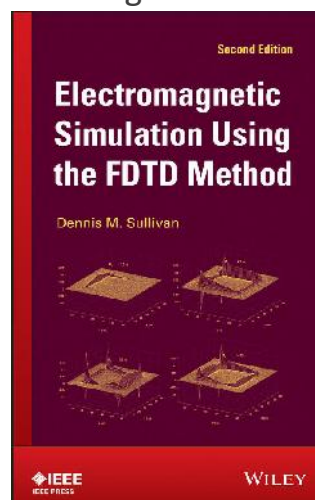


3



مراجع

2. Electromagnetic Simulation using the FDTD Method – Sullivan

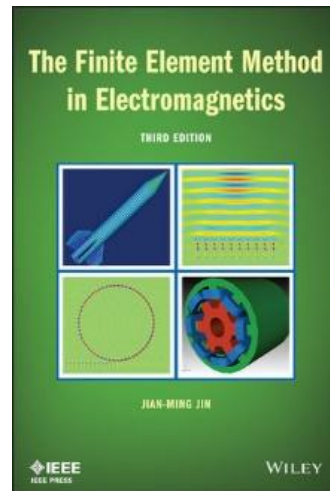


4



مراجع

3. The Finite Element Method in Electromagnetics- Jian-Ming Jin

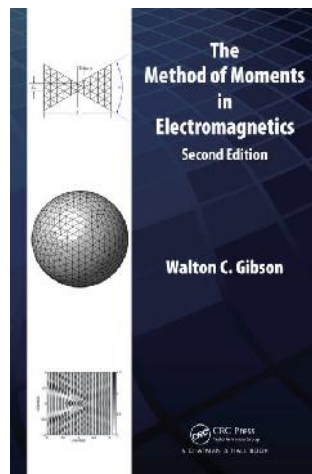


5



مراجع

4. The Method of Moments in Electromagnetics, Walton C. Gibson



6



ارزشیابی

❖ امتحان میان ترم: ۶ نمره

❖ امتحان پایان ترم: ۱۰ نمره

❖ تکالیف و شبیه سازی: ۴ نمره

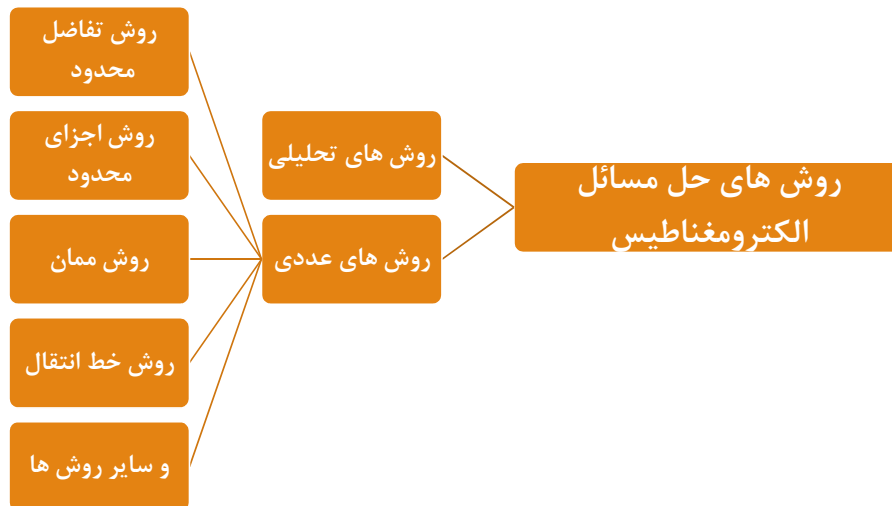
7

فصل اول: مقدمه

8



مقدمه



9



مروری بر تئوری الکترومغناطیس

۱- میدان های الکترواستاتیک:

❖ قانون گوس:

$$\oint \mathbf{D} \cdot d\mathbf{S} = \int \rho_v dv$$

$$\oint \mathbf{E} \cdot d\mathbf{l} = 0$$

\mathbf{D} = the electric flux density (in coulombs/meter²)

ρ_v = the volume charge density (in coulombs/meter³)

\mathbf{E} = the electric field intensity (in volts/meter)

10



مروری بر تئوری الکترومغناطیس

❖ بیان معادلات به فرم مشتق

$$\nabla \cdot \mathbf{D} = \rho_v$$

$$\nabla \times \mathbf{E} = 0$$

❖ رابطه بین چگالی شار الکتریکی و شدت میدان الکتریکی

$$\mathbf{D} = \epsilon \mathbf{E}$$

$$V = - \int \mathbf{E} \cdot d\mathbf{l}$$

❖ تعریف پتانسیل الکتریکی

$$\nabla^2 V = -\frac{\rho_v}{\epsilon}$$

$$\mathbf{E} = -\nabla V$$

$$\nabla \cdot \epsilon \nabla V = -\rho_v$$

11



مروری بر تئوری الکترومغناطیس

$$\nabla \cdot \mathbf{D} = \rho_v \xrightarrow[\mathbf{D} = \epsilon \mathbf{E}]{\mathbf{E} = -\nabla V} \nabla \cdot \epsilon \nabla V = -\rho_v \xrightarrow{\text{if } \epsilon \text{ is constant}} \nabla^2 V = -\frac{\rho_v}{\epsilon}$$

معادله پواسون

$$\text{When } \rho_v = 0 \longrightarrow \nabla^2 V = 0$$

معادله لاپلاس

12



مروری بر تئوری الکترومغناطیس

۲- میدان های مگنتواستاتیک:

$$\oint_L \mathbf{H} \cdot d\mathbf{l} = \int_S \mathbf{J}_e \cdot d\mathbf{S}$$

قانون آمپر:

$$\oint_S \mathbf{B} \cdot d\mathbf{S} = 0$$

\mathbf{H} = the magnetic field intensity (in amperes/meter)

\mathbf{J}_e = the electric current density (in amperes/meter²)

\mathbf{B} = the magnetic flux density (in tesla or webers/meter²)

13



مروری بر تئوری الکترومغناطیس

❖ بیان معادلات به فرم مشتق

$$\nabla \times \mathbf{H} = \mathbf{J}_e$$

$$\nabla \cdot \mathbf{B} = 0$$

❖ رابطه بین چگالی شار مغناطیسی و شدت میدان مغناطیسی

$$\mathbf{B} = \mu \mathbf{H}$$

❖ رابطه بین شدت میدان الکتریکی و چگالی جریان الکتریکی

$$\mathbf{J}_e = \sigma \mathbf{E}$$

14



مروری بر تئوری الکترومغناطیس

❖ بیان چگالی شار بر حسب پتانسیل مغناطیسی برداری:

$$\mathbf{B} = \nabla \times \mathbf{A}$$

$$\nabla \times \mathbf{H} = \mathbf{J}_e$$

$$\mathbf{B} = \nabla \times \mathbf{A}$$

$$\mathbf{B} = \mu \mathbf{H}$$

$$\nabla \times (\nabla \times \mathbf{F}) = \nabla(\nabla \cdot \mathbf{F}) - \nabla^2 \mathbf{F}$$

$$\nabla^2 \mathbf{A} = -\mu \mathbf{J}_e$$

معادله پواسون

معادله لاپلاس

$$\text{When } \mathbf{J}_e = 0 \longrightarrow \nabla^2 \mathbf{A} = 0$$

15



مروری بر تئوری الکترومغناطیس

۳- میدان های متغیر با زمان

فرم مشتقی
معادلات

$$\nabla \cdot \mathbf{D} = \rho_v$$

$$\nabla \cdot \mathbf{B} = 0$$

$$\nabla \times \mathbf{E} = -\frac{\partial \mathbf{B}}{\partial t} - \mathbf{J}_m$$

$$\nabla \times \mathbf{H} = \mathbf{J}_e + \frac{\partial \mathbf{D}}{\partial t}$$

$$\oint_S \mathbf{D} \cdot d\mathbf{S} = \int_v \rho_v dv$$

$$\oint_S \mathbf{B} \cdot d\mathbf{S} = 0$$

$$\oint_L \mathbf{E} \cdot d\mathbf{l} = -\int_S \left(\frac{\partial \mathbf{B}}{\partial t} + \mathbf{J}_m \right) \cdot d\mathbf{S}$$

$$\oint_L \mathbf{H} \cdot d\mathbf{l} = \int_S \left(\mathbf{J}_e + \frac{\partial \mathbf{D}}{\partial t} \right) \cdot d\mathbf{S}$$

فرم انتگرالی
معادلات

$\mathbf{J}_m = \sigma^* \mathbf{H}$ is the magnetic conductive current density (in volts/square meter)

σ^* = the magnetic resistivity (in ohms/meter)

16



مروری بر تئوری الکترومغناطیس

❖ اثر محیط بر کمیت ها

$$\mathbf{D} = \epsilon \mathbf{E}$$

$$\mathbf{B} = \mu \mathbf{H}$$

$$\mathbf{J}_e = \sigma \mathbf{E}$$

$$\mathbf{J}_m = \sigma^* \mathbf{M}$$

❖ قانون نیروی لورنتس

$$\mathbf{F} = Q(\mathbf{E} + \mathbf{u} \times \mathbf{B})$$

❖ ارتباط چگالی جریان و تغییرات بار:

$$\nabla \cdot \mathbf{J} = -\frac{\partial \rho_v}{\partial t}$$

17



مروری بر تئوری الکترومغناطیس

۴- شرایط مرزی:

محیطی که موج در آن قرار دارد میتواند ویژگی های زیر را داشته باشد:

❖ اگر $\sigma, \epsilon, \text{ and } \mu$ مستقل از \mathbf{E} and \mathbf{H} باشند، محیط خطی است در غیر این صورت محیط غیر خطی است.

❖ اگر $\sigma, \epsilon, \text{ and } \mu$ مستقل از متغیرهای مکانی باشد همگن در غیر این صورت ناهمگن است.

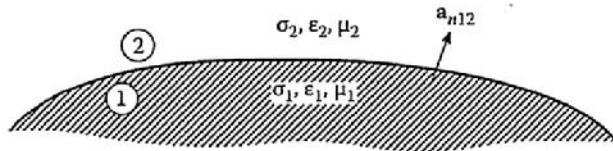
❖ اگر $\sigma, \epsilon, \text{ and } \mu$ مستقل از جهت باشد محیط ایزوتروپیک و در غیر این صورت غیر ایزوتروپیک است

18



مروری بر تئوری الکترومغناطیس

شرایط در مرز دو ماده:



$$\begin{aligned} E_{1t} &= E_{2t} \text{ or } (\mathbf{E}_1 - \mathbf{E}_2) \times \mathbf{a}_{n12} = 0 \\ H_{1t} - H_{2t} &= K \text{ or } (\mathbf{H}_1 - \mathbf{H}_2) \times \mathbf{a}_{n12} = \mathbf{K} \\ D_{1n} - D_{2n} &= \rho_s \text{ or } (\mathbf{D}_1 - \mathbf{D}_2) \cdot \mathbf{a}_{n12} = \rho_s \\ B_{1n} - B_{2n} &= 0 \text{ or } (\mathbf{B}_1 - \mathbf{B}_2) \cdot \mathbf{a}_{n12} = 0 \end{aligned}$$

where \mathbf{a}_{n12} is a unit normal vector directed from medium 1 to medium 2.

surface current density \mathbf{K}

surface charge density ρ_s

19



مروری بر تئوری الکترومغناطیس

۵- معادله موج (معادلات ماکسول متغیر با زمان):

در معادلات ماکسول میدان های الکتریکی و مغناطیسی با یکدیگر کوپل شده اند. میتوان با تبدیل به معادلات موج این کوپلینگ را حذف نمود.

با فرض اینکه محیط خطی، ایزوتروپیک، همگن و فاقد منبع باشد:

$$\left. \begin{aligned} \nabla \times \nabla \times \mathbf{E} &= -\mu \frac{\partial}{\partial t} (\nabla \times \mathbf{H}) \\ \nabla \times \mathbf{H} &= \epsilon \frac{\partial \mathbf{E}}{\partial t} \end{aligned} \right\} \longrightarrow \left. \begin{aligned} \nabla \times \nabla \times \mathbf{E} &= -\mu \epsilon \frac{\partial^2 \mathbf{E}}{\partial t^2} \\ \nabla \times \nabla \times \mathbf{F} &= \nabla (\nabla \cdot \mathbf{F}) - \nabla^2 \mathbf{F} \end{aligned} \right\} \longrightarrow \nabla (\nabla \cdot \mathbf{E}) - \nabla^2 \mathbf{E} = -\mu \epsilon \frac{\partial^2 \mathbf{E}}{\partial t^2}$$

Since $\rho_v = 0$, $\nabla \cdot \mathbf{E} = 0 \longrightarrow \nabla^2 \mathbf{E} - \mu \epsilon \frac{\partial^2 \mathbf{E}}{\partial t^2} = 0$ معادله هلمهولتز

20



مروری بر تئوری الکترومغناطیس

به طور مشابه معادله هلمهولتز برای میدان مغناطیسی به صورت زیر است:

$$\nabla^2 \mathbf{H} - \mu\epsilon \frac{\partial^2 \mathbf{H}}{\partial t^2} = 0$$

معادلات هلمهولتز معادله حرکت موج در یک محیط را نشان می دهد. سرعت انتشار این موج به صورت زیر است:

$$u = \frac{1}{\sqrt{\mu\epsilon}}$$

where $u = c \approx 3 \times 10^8 \text{ m/s}$ in free space

21



مروری بر تئوری الکترومغناطیس

معادلات هلمهولتز به فرم برداری هستند که در مجموع شامل شش مولفه اسکالر زیر میباشند:

$$E_x, E_y, E_z, H_x, H_y, \text{ and } H_z$$

هر کدام از این مولفه ها به صورت زیر در معادله هلمهولتز صدق میکند:

$$\nabla^2 \Psi - \frac{1}{u^2} \frac{\partial^2 \Psi}{\partial t^2} = 0$$

22



مروری بر تئوری الکترومغناطیس

۶- پتانسیل های متغیر با زمان:

برای پتانسیل های الکتریکی و مغناطیسی میتوان نشان داد:

$$\nabla^2 \mathbf{A} - \mu\epsilon \frac{\partial^2 \mathbf{A}}{\partial t^2} = -\mu \mathbf{J}$$

$$\nabla^2 V - \mu\epsilon \frac{\partial^2 V}{\partial t^2} = -\frac{\rho_v}{\epsilon}$$

$$\mathbf{A} = \int \frac{\mu[\mathbf{J}] dv}{4\pi R}$$

$$V = \int \frac{[\rho_v] dv}{4\pi\epsilon R}$$

where R is the distance

فرم مشتقی

فرم انتگرالی

where R is the distance from the source point to the field point

denote ρ and \mathbf{J} is

23



دسته بندی مسائل الکترومغناطیس

مسائل الکترومغناطیس بر اساس یکی ویژگی های زیر دسته بندی میشوند:

۱- ناحیه ای که مسئله در آن حل میشود.

۲- نوع معادله توصیف کننده مسئله

۳- شرایط مرزی اختصاص یافته به مسئله

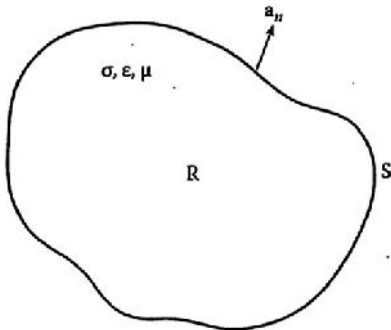
24



دسته بندی مسائل الکترومغناطیس

۱- دسته بندی بر اساس نواحی حل مسئله:

❖ نواحی با مرز محدود



❖ نواحی با مرز نا محدود

25



دسته بندی مسائل الکترومغناطیس

۲- دسته بندی بر اساس نوع معادله توصیف کننده مسئله:

❖ معادله دیفرانسیل

❖ معادله انتگرال

❖ ترکیب معادله دیفرانسیل و انتگرال

در حالت کلی:

$$L\Phi = g$$

where L is an operator (differential, integral, or integro-differential)

g is the known excitation or source

Φ is the unknown function to be determined

26



دسته بندی مسائل الکترومغناطیس

مثال: معادله پواسن الکتریکی

$$-\nabla^2 V = \frac{\rho_v}{\epsilon}$$

در این مثال:

$$L = -\nabla^2$$

$$g = \rho_v / \epsilon$$

$$\Phi = V$$

برای حل اغلب مسائل از فرم مشتق استفاده میکنیم.

27



دسته بندی مسائل الکترومغناطیس

در حالت کلی یک معادله دیفرانسیل مرتبه دوم به صورت زیر است:

$$a \frac{\partial^2 \Phi}{\partial x^2} + b \frac{\partial^2 \Phi}{\partial x \partial y} + c \frac{\partial^2 \Phi}{\partial y^2} + d \frac{\partial \Phi}{\partial x} + e \frac{\partial \Phi}{\partial y} + f \Phi = g$$

که به صورت ساده زیر میتوان نشان داد:

$$\underline{a \Phi_{xx} + b \Phi_{xy} + c \Phi_{yy} + d \Phi_x + e \Phi_y + f \Phi = g}$$

در این رابطه:

$$L = a \frac{\partial^2}{\partial x^2} + b \frac{\partial^2}{\partial x \partial y} + c \frac{\partial^2}{\partial y^2} + d \frac{\partial}{\partial x} + e \frac{\partial}{\partial y} + f$$

28



دسته بندی مسائل الکترومغناطیس

هر معادله مشتق جزئی مرتبه دوم خطی سه حالت زیر را دارد:

$$\begin{aligned} \text{elliptic if } & b^2 - 4ac < 0 \\ \text{hyperbolic if } & b^2 - 4ac > 0 \\ \text{parabolic if } & b^2 - 4ac = 0 \end{aligned}$$

❖ بیضوی

❖ هذلولی

❖ سهموی

29



دسته بندی مسائل الکترومغناطیس

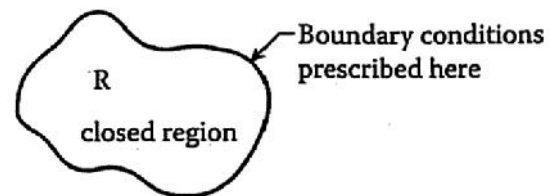
معادله مشتق جزئی مرتبه دوم بیضوی

این معادله معمولاً در شرایط حالت دائم برقرار است مانند معادله لاپلاس و پواسن

Laplace's equation $\frac{\partial^2 \Phi}{\partial x^2} + \frac{\partial^2 \Phi}{\partial y^2} = 0$

Poisson's equation $\frac{\partial^2 \Phi}{\partial x^2} + \frac{\partial^2 \Phi}{\partial y^2} = g(x, y)$

$$a = c = 1, b = 0$$



معمولاً این معادلات در ناحیه با مرز محدود تعریف میشود.

30



دسته بندی مسائل الکترومغناطیس

معادله مشتق جزئی مرتبه دوم هذلولی

این معادله معمولاً در مسائل انتشار امواج ظاهر میشود:

مثال: معادله موج یک بعدی

$$\frac{\partial^2 \Phi}{\partial x^2} = \frac{1}{u^2} \frac{\partial^2 \Phi}{\partial t^2}$$

$$a = u^2, b = 0, c = -1$$

معمولاً این معادلات در ناحیه باز بر اساس شرایط اولیه حل میشوند و شرایط مرزی تعیین شده ای را ارضا میکنند.

31



دسته بندی مسائل الکترومغناطیس

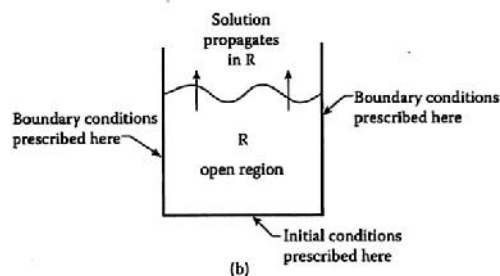
معادله مشتق جزئی مرتبه دوم سهموی

این معادله در مسائل حرارتی ظاهر میشود:

مثال: معادله انتقال حرارت:

$$\frac{\partial^2 \Phi}{\partial x^2} = k \frac{\partial \Phi}{\partial t}$$

$$a = 1, b = 0 = c$$



این معادلات مانند معادلات هذلولی

در فضای باز حل میشوند:

32



دسته بندی مسائل الکترومغناطیس

جمع بندی

Table 1.1 Classification of Partial Differential Equations

Type	Sign of $b^2 - 4ac$	Example	Solution Region
Elliptic	—	Laplace's equation: $\Phi_{xx} + \Phi_{yy} = 0$	Closed
Hyperbolic	+	Wave equation: $u^2 \Phi_{xx} = \Phi_{tt}$	Open
Parabolic	0	Diffusion equation: $\Phi_{xx} = k \Phi_t$	Open

33



دسته بندی مسائل الکترومغناطیس

۳- دسته بندی بر اساس شرایط مرزی

پاسخ معادله دیفرانسل نه تنها باید در خود معادله صدق کند بلکه باید شرایط مرزی ناحیه حل را ارضا کند.

سه نوع شرایط مرزی متداول وجود دارد:

۱- شرط مرزی دیریکله

۲- شرط مرزی نیومن

۳- شرط مرزی ترکیبی

34



دسته بندی مسائل الکترومغناطیس

۱- شرط مرزی دیریکله:

$$\Phi(\mathbf{r}) = 0, \quad \mathbf{r} \text{ on } S$$

۲- شرط مرزی نیومن:

$$\frac{\partial \Phi(\mathbf{r})}{\partial n} = 0, \quad \mathbf{r} \text{ on } S,$$

the normal derivative of Φ vanishes on S .

35



دسته بندی مسائل الکترومغناطیس

۳- شرایط مرزی ترکیبی:

$$\frac{\partial \Phi(\mathbf{r})}{\partial n} + h(\mathbf{r})\Phi(\mathbf{r}) = 0, \quad \mathbf{r} \text{ on } S,$$

where $h(\mathbf{r})$ is a known function

$\frac{\partial \Phi}{\partial n}$ is the directional derivative of Φ along the outward normal to the boundary S

$$\frac{\partial \Phi}{\partial n} = \nabla \Phi \cdot \mathbf{a}_n$$

where \mathbf{a}_n is a unit normal directed out of R

36



دسته بندی مسائل الکترومغناطیس

نکته ۱: شرط مرزی نیومن حالت خاص شرط مرزی ترکیبی است زمانی که:

$$h(\mathbf{r}) = 0$$

نکته ۲- شروط فوق را اصطلاحاً همگن میگویند زیرا سمت راست تساوی صفر است. در حالت ناهمگن به صورت زیر تعریف میشوند:

$$\Phi(\mathbf{r}) = p(\mathbf{r}), \quad \mathbf{r} \text{ on } S$$

$$\frac{\partial \Phi(\mathbf{r})}{\partial n} = q(\mathbf{r}), \quad \mathbf{r} \text{ on } S$$

$$\frac{\partial \Phi(\mathbf{r})}{\partial n} + h(\mathbf{r})\Phi(\mathbf{r}) = w(\mathbf{r}), \quad \mathbf{r} \text{ on } S$$

where $p(\mathbf{r})$, $q(\mathbf{r})$, and $w(\mathbf{r})$ are explicitly known functions on the boundary S .

37



دسته بندی مسائل الکترومغناطیس

مثال:

$\Phi(0) = 1$ is an inhomogeneous Dirichlet boundary condition

$\Phi'(1) = 2$ inhomogeneous Neumann boundary conditions

مثال در الکترواستاتیک:

if the value of electric potential is specified on S → Dirichlet boundary condition

if the surface charge ($\rho_s = D_n = \epsilon \frac{\partial V}{\partial n}$) is specified → Neumann boundary conditions

38

فصل دوم: روش تفاضل محدود

39



مقدمه

❖ این روش اولین بار در سال ۱۹۲۰ برای حل مسائل هیدرودینامیک معرفی گردید.

❖ این روش حل از سه گام تشکیل شده است:

❖ تقسیم ناحیه حل به شبکه ای از نقاط



(a)



(b)



(c)



(d)

40



❖ تقریب معادلات دیفرانسیل با معادلات تفاضلی

❖ حل معادلات تفاضلی با استفاده از شرایط اولیه و شرایط مرزی

41



الگوهای تفاضل محدود

تعریف مشتق مرتبه اول:

forward-difference formula

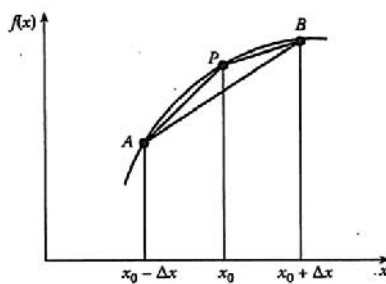
$$f'(x_0) \simeq \frac{f(x_0 + \Delta x) - f(x_0)}{\Delta x}$$

backward-difference formula

$$f'(x_0) \simeq \frac{f(x_0) - f(x_0 - \Delta x)}{\Delta x}$$

central-difference formula

$$f'(x_0) \simeq \frac{f(x_0 + \Delta x) - f(x_0 - \Delta x)}{2\Delta x}$$




42



الگوهای تفاضل محدود

تعریف مشتق مرتبه دوم:

$$f''(x_0) \simeq \frac{f'(x_0 + \Delta x/2) - f'(x_0 - \Delta x/2)}{\Delta x}$$

$$= \frac{1}{\Delta x} \left[\frac{f(x_0 + \Delta x) - f(x_0)}{\Delta x} - \frac{f(x_0) - f(x_0 - \Delta x)}{\Delta x} \right]$$


$$f''(x_0) \simeq \frac{f(x_0 + \Delta x) - 2f(x_0) + f(x_0 - \Delta x)}{(\Delta x)^2}$$

43




الگوهای تفاضل محدود

محاسبه مشتق بر اساس بسط سری تیلور

$$f(x_0 + \Delta x) = f(x_0) + \Delta x f'(x_0) + \frac{1}{2!}(\Delta x)^2 f''(x_0) + \frac{1}{3!}(\Delta x)^3 f'''(x_0) + \dots$$

$$f(x_0 - \Delta x) = f(x_0) - \Delta x f'(x_0) + \frac{1}{2!}(\Delta x)^2 f''(x_0) - \frac{1}{3!}(\Delta x)^3 f'''(x_0) + \dots$$



$$f(x_0 + \Delta x) + f(x_0 - \Delta x) = 2f(x_0) + (\Delta x)^2 f''(x_0) + O(\Delta x)^4$$

$O(\Delta x)^4$ is the error introduced by truncating the series.

44



الگوهای تفاضل محدود

فرمول محاسبه مشتق مرتبه دوم با خطای از مرتبه ۴

$$f''(x_0) \simeq \frac{f(x_0 + \Delta x) - 2f(x_0) + f(x_0 - \Delta x)}{(\Delta x)^2}$$

فرمول محاسبه مشتق مرتبه اول با خطای از مرتبه ۳

$$f'(x_0) \simeq \frac{f(x_0 + \Delta x) - f(x_0 - \Delta x)}{2\Delta x}$$

45



الگوهای تفاضل محدود

مثال: اعمال روش تفاضل محدود به یک تابع $\Phi(x, t)$

$$x = i\Delta x, \quad i = 0, 1, 2, \dots$$

$$t = j\Delta t, \quad j = 0, 1, 2, \dots$$

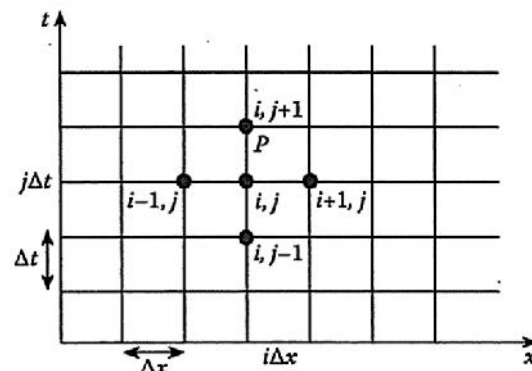
$$\Phi_P = \Phi(i\Delta x, j\Delta t) = \Phi(i, j)$$

$$\Phi_x|_{i,j} \simeq \frac{\Phi(i+1, j) - \Phi(i-1, j)}{2\Delta x},$$

$$\Phi_t|_{i,j} \simeq \frac{\Phi(i, j+1) - \Phi(i, j-1)}{2\Delta t},$$

$$\Phi_{xx}|_{i,j} \simeq \frac{\Phi(i+1, j) - 2\Phi(i, j) + \Phi(i-1, j)}{(\Delta x)^2},$$

$$\Phi_{tt}|_{i,j} \simeq \frac{\Phi(i, j+1) - 2\Phi(i, j) + \Phi(i, j-1)}{(\Delta t)^2}$$



46



الگوهای تفاضل محدود

Derivative	Finite Difference Approximation	Type	Error
Φ_x	$\frac{\Phi_{i+1} - \Phi_i}{\Delta x}$	FD	$O(\Delta x)$
	$\frac{\Phi_i - \Phi_{i-1}}{\Delta x}$	BD	$O(\Delta x)$
	$\frac{\Phi_{i+1} - \Phi_{i-1}}{2\Delta x}$	CD	$O(\Delta x)^2$
	$\frac{-\Phi_{i+2} + 4\Phi_{i+1} - 3\Phi_i}{2\Delta x}$	FD	$O(\Delta x)^2$
	$\frac{3\Phi_i - 4\Phi_{i-1} + \Phi_{i-2}}{2\Delta x}$	BD	$O(\Delta x)^2$
	$\frac{-\Phi_{i+2} + 8\Phi_{i+1} - 8\Phi_{i-1} + \Phi_{i-2}}{12\Delta x}$	CD	$O(\Delta x)^4$
Φ_{xx}	$\frac{\Phi_{i+2} - 2\Phi_{i+1} + \Phi_i}{(\Delta x)^2}$	FD	$O(\Delta x)^2$
	$\frac{\Phi_i - 2\Phi_{i-1} + \Phi_{i-2}}{(\Delta x)^2}$	BD	$O(\Delta x)^2$
	$\frac{\Phi_{i+1} - 2\Phi_i + \Phi_{i-1}}{(\Delta x)^2}$	CD	$O(\Delta x)^2$
	$\frac{-\Phi_{i+2} + 16\Phi_{i+1} - 30\Phi_i + 16\Phi_{i-1} - \Phi_{i-2}}{12(\Delta x)^2}$	CD	$O(\Delta x)^4$

where FD = Forward Difference, BD = Backward Difference, and CD = Central Difference.

47



اعمال روش اجزای محدود به معادلات دیفرانسیل سهموی

معادله انتقال حرارت:

$$k \frac{\partial \Phi}{\partial t} = \frac{\partial^2 \Phi}{\partial x^2}$$

where k is a constant.

معادل تفاضل محدود این معادله:

$$k \frac{\Phi(i, j+1) - \Phi(i, j)}{\Delta t} = \frac{\Phi(i+1, j) - 2\Phi(i, j) + \Phi(i-1, j)}{(\Delta x)^2}$$

where $x = i\Delta x, i = 0, 1, 2, \dots, n, t = j\Delta t, j = 0, 1, 2, \dots$

48



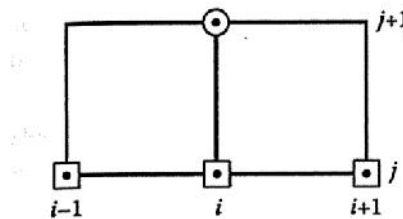
اعمال روش اجزای محدود به معادلات دیفرانسیل سهموی

$$r = \frac{\Delta t}{k(\Delta x)^2}$$

با فرض:

$$\Phi(i, j+1) = r\Phi(i+1, j) + (1-2r)\Phi(i, j) + r\Phi(i-1, j)$$

با استفاده از این رابطه صریح مقدار متغیر Φ در لحظه $t = \Delta t$ بر اساس مقادیر اولیه مشخص میشود. بر این اساس سلول محاسباتی به صورت شکل زیر خواهد بود:



49



اعمال روش اجزای محدود به معادلات دیفرانسیل سهموی

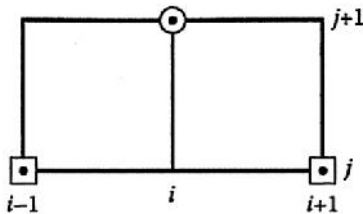
میتوان نشان داد که به منظور حفظ پایداری معادله فوق مقدار متغیر r باید در شرط زیر صدق کند:

$$0 < r \leq 1/2$$

با انتخاب $r=0.5$ معادله به صورت زیر تبدیل میشود:

$$\Phi(i, j+1) = \frac{1}{2}[\Phi(i+1, j) + \Phi(i-1, j)]$$

در نتیجه سلول محاسباتی به صورت زیر تبدیل میشود:



50



اعمال روش اجزای محدود به معادلات دیفرانسیل سهموی

عیب روش فوق محدود پایداری در مقدار محدود r میباشد.

برای حل این مشکل میتوان معادله فوق را به صورت ضمنی زیر تغییر داد (استفاده از میانگین مشتق مرتبه دوم در نقطه j و $j+1$):

$$k \frac{\Phi(i, j+1) - \Phi(i, j)}{\Delta t} = \frac{1}{2} \left[\frac{\Phi(i+1, j) - 2\Phi(i, j) + \Phi(i-1, j)}{(\Delta x)^2} + \frac{\Phi(i+1, j+1) - 2\Phi(i, j+1) + \Phi(i-1, j+1)}{(\Delta x)^2} \right]$$

با قرار دادن مقدار r :

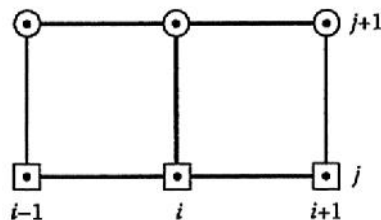
$$\begin{aligned} -r\Phi(i-1, j+1) + 2(1+r)\Phi(i, j+1) - r\Phi(i+1, j+1) \\ = r\Phi(i-1, j) + 2(1-r)\Phi(i, j) + r\Phi(i+1, j) \end{aligned}$$

51



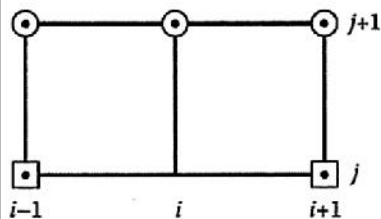
اعمال روش اجزای محدود به معادلات دیفرانسیل سهموی

سلول محاسباتی در این حالت:



در این روش ناحیه تغییرات r از لحاظ پایداری کلیه اعداد مثبت است. اگر به طور خاص $r=1$ انتخاب شود:

$$-\Phi(i-1, j+1) + 4\Phi(i, j+1) - \Phi(i+1, j+1) = \Phi(i-1, j) + \Phi(i+1, j)$$



52



اعمال روش اجزای محدود به معادلات دیفرانسیل سهموی

روش های پیاده سازی معادلات تفاضل محدود

Method	Algorithm	Molecule
1. First order (Euler)	$\frac{\Phi_i^{j+1} - \Phi_i^j}{\Delta t} = \frac{\Phi_{i+1}^j - 2\Phi_i^j + \Phi_{i-1}^j}{k(\Delta x)^2}$ <p>explicit, stable for $r = \Delta t / k(\Delta x)^2 \leq 0.5$</p>	
2. Crank–Nicholson	$\frac{\Phi_i^{j+1} - \Phi_i^j}{\Delta t} = \frac{\Phi_{i+1}^{j+1} - 2\Phi_i^{j+1} + \Phi_{i-1}^{j+1}}{2k(\Delta x)^2} + \frac{\Phi_{i+1}^j - 2\Phi_i^j + \Phi_{i-1}^j}{2k(\Delta x)^2}$ <p>implicit, always stable</p>	

53



اعمال روش اجزای محدود به معادلات دیفرانسیل سهموی

	implicit, always stable	
3. Leapfrog	$\frac{\Phi_i^{j+1} - \Phi_i^{j-1}}{2\Delta t} = \frac{\Phi_{i+1}^j - 2\Phi_i^j + \Phi_{i-1}^j}{k(\Delta x)^2}$ <p>explicit, always unstable</p>	
4. Dufort–Frankel	$\frac{\Phi_i^{j+1} - \Phi_i^{j-1}}{2\Delta t} = \frac{\Phi_{i+1}^j - \Phi_i^{j+1} - \Phi_i^{j-1} + \Phi_{i-1}^j}{k(\Delta x)^2}$ <p>explicit, unconditionally stable</p>	

54



اعمال روش اجزای محدود به معادلات دیفرانسیل سهموی

مثال: حل معادله حرارت

$$\frac{\partial^2 \Phi}{\partial x^2} = \frac{\partial \Phi}{\partial t}, \quad 0 \leq x \leq 1$$

شرایط اولیه

$$\Phi(x, 0) = 100$$

شرایط مرزی

$$\Phi(0, t) = 0 = \Phi(1, t) = 0, \quad t > 0$$

توصیف فیزیکی مسئله: محاسبه توزیع دمایی در یک میله به طول یک متر که ابتدا به اندازه ۱۰۰ درجه گرم شده و در لحظه صفر دو انتهای آن داخل یخ صفر درجه قرار میگیرد.

55



اعمال روش اجزای محدود به معادلات دیفرانسیل سهموی

حالت اول: حل به روش مستقیم

$$\Delta x = 0.1, r = 1/2 \longrightarrow \Delta t = kr(\Delta x)^2 = 0.005$$

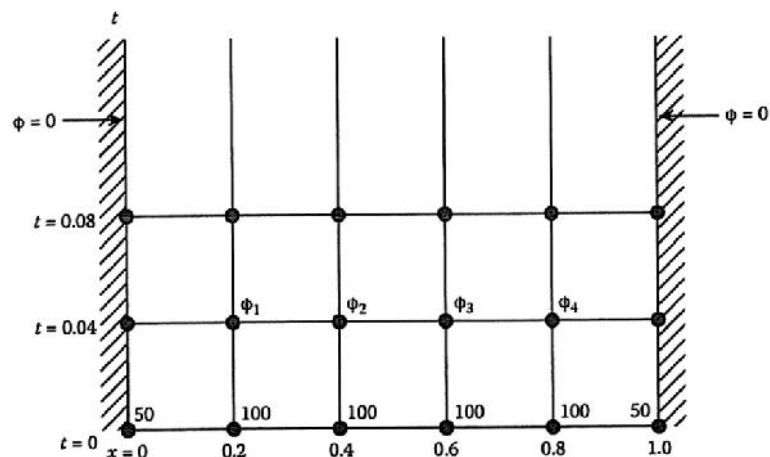
x	0	0.1	0.2	0.3	0.4	0.5	0.6	...	1.0
t									
0	50	100	100	100	100	100	100		50
0.005	0	75.0	100	100	100	100	100		0
0.01	0	50	87.5	100	100	100	100		0
0.015	0	43.75	75	93.75	100	100	100		0
0.02	0	37.5	68.75	87.5	96.87	100	96.87		0
0.025	0	34.37	62.5	82.81	93.75	96.87	93.75		0
0.03	0	31.25	58.59	78.21	89.84	93.75	89.84		0
⋮									
0.1	0	14.66	27.92	38.39	45.18	47.44	45.18		0

56



اعمال روش اجزای محدود به معادلات دیفرانسیل سهموی

حالت دوم: حل به روش غیر مستقیم $\Delta x = 0.2, r = 1 \longrightarrow \Delta t = 0.04$



57



اعمال روش اجزای محدود به معادلات دیفرانسیل سهموی

$t = 0.04.$

$$\begin{aligned} -0 + 4\Phi_1 - \Phi_2 &= 50 + 100 \\ -\Phi_1 + 4\Phi_2 + \Phi_3 &= 100 + 100 \\ -\Phi_2 + 4\Phi_3 - \Phi_4 &= 100 + 100 \\ -\Phi_3 + 4\Phi_4 - 0 &= 100 + 50 \end{aligned}$$

با حل این معادلات:

$$\Phi_1 = 58.13, \quad \Phi_2 = 82.54, \quad \Phi_3 = 72, \quad \Phi_4 = 55.5$$

58



اعمال روش اجزای محدود به معادلات دیفرانسیل سهموی

$$t = 0.08$$

$$-0 + 4\Phi_1 - \Phi_2 = 0 + 82.54$$

$$-\Phi_1 + 4\Phi_2 - \Phi_3 = 58.13 + 72$$

$$-\Phi_2 + 4\Phi_3 - \Phi_4 = 82.54 + 55.5$$

$$-\Phi_3 + 4\Phi_4 - 0 = 72 + 0$$

با حل این معادلات:

$$\Phi_1 = 34.44, \quad \Phi_2 = 55.23, \quad \Phi_3 = 56.33, \quad \Phi_4 = 32.08$$

59



اعمال روش اجزای محدود به معادلات دیفرانسیل سهموی

مقایسه روش تفاضل محدود با روش تحلیلی:

t	Finite Difference Solution at $x = 0.4$	Analytic Solution at $x = 0.4$	Percentage Error
0.005	100	99.99	0.01
0.01	100	99.53	0.47
0.015	100	97.85	2.2
0.02	96.87	95.18	1.8
0.025	93.75	91.91	2.0
0.03	89.84	88.32	1.7
0.035	85.94	84.61	1.6
0.04	82.03	80.88	1.4
\vdots			
0.10	45.18	45.13	0.11

60



اعمال روش اجزای محدود به معادلات دیفرانسیل سهموی

تمرین سری اول: مثال فوق را به روش مستقیم غیر مستقیم در نرم افزار متلب پیاده سازی نمائید. در هر دو حالت فواصل نقاط را ۵ سانتیمتر در نظر بگیرید و تا زمان ۱ ثانیه شبیه سازی کنید.

61



اعمال روش اجزای محدود به معادلات دیفرانسیل هذلولی

فرم کلی معادله (معادله موج):

$$u^2 \frac{\partial^2 \Phi}{\partial x^2} = \frac{\partial^2 \Phi}{\partial t^2}$$

where u is the speed of the wave.

حل معادله به روش مستقیم: تبدیل به فرم تفاضل محدود:

$$u^2 \frac{\Phi(i+1, j) - 2\Phi(i, j) + \Phi(i-1, j)}{(\Delta x)^2} = \frac{\Phi(i, j+1) - 2\Phi(i, j) + \Phi(i, j-1)}{(\Delta t)^2}$$

where $x = i \Delta x, t = j \Delta t, i, j = 0, 1, 2, \dots$

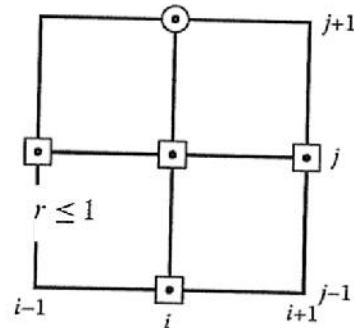
62



اعمال روش اجزای محدود به معادلات دیفرانسیل هذلولی

$$r = \left(\frac{u \Delta t}{\Delta x} \right)^2$$

$$\Phi(i, j+1) = 2(1-r)\Phi(i, j) + r[\Phi(i+1, j) + \Phi(i-1, j)] - \Phi(i, j-1)$$



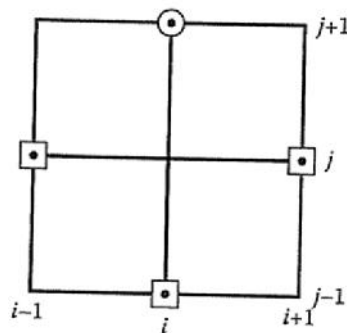
63



اعمال روش اجزای محدود به معادلات دیفرانسیل هذلولی

If we choose $r = 1$.

$$\Phi(i, j+1) = \Phi(i+1, j) + \Phi(i-1, j) - \Phi(i, j-1)$$



64



اعمال روش اجزای محدود به معادلات دیفرانسیل هذلولی

مشکل: در این معادله وابستگی مقدار تابع در لحظه $j+1$ به مقادیر j و $j-1$

راه حل: استفاده از شرایط اولیه برای تعیین مقادیر مراحل قبلی

مثال: فرض کنید شرایط اولیه این مسئله به صورت زیر باشد:

$$\left. \frac{\partial \Phi}{\partial t} \right|_{t=0} = 0$$

$$\frac{\partial \Phi(x, 0)}{\partial t} \simeq \frac{\Phi(i, 1) - \Phi(i, -1)}{2\Delta t} = 0$$

65



اعمال روش اجزای محدود به معادلات دیفرانسیل هذلولی

با جایگذاری در معادله
تفاضل محدود

$$\Phi(i, 1) = \Phi(i, -1) \longrightarrow \Phi(i, 1) = 2(1-r)\Phi(i, 0) + r[\Phi(i-1, 0) + \Phi(i+1, 0)] - \Phi(i, 1)$$

$$\Phi(i, 1) = (1-r)\Phi(i, 0) + \frac{r}{2}[\Phi(i-1, 0) + \Phi(i+1, 0)]$$

66



اعمال روش اجزای محدود به معادلات دیفرانسیل هذلولی

مثال: حل معادله موج با شرایط اولیه و شرایط مرزی زیر:

$$\Phi_{tt} = \Phi_{xx}, \quad 0 < x < 1, \quad t \geq 0$$

subject to the boundary conditions

$$\Phi(0, t) = 0 = \Phi(1, t), \quad t \geq 0$$

and the initial conditions

$$\begin{aligned} \Phi(x, 0) &= \sin \pi x, & 0 < x < 1, \\ \Phi_t(x, 0) &= 0, & 0 < x < 1 \end{aligned} \quad \square$$

67



اعمال روش اجزای محدود به معادلات دیفرانسیل هذلولی

For $j = 0$, substituting

حل:

$$\Phi_t = \frac{\Phi(i, 1) - \Phi(i, -1)}{2\Delta t} = 0 \quad \longrightarrow \quad \Phi(i, 1) = \Phi(i, -1)$$

$$\Phi(i, 1) = \frac{1}{2}[\Phi(i-1, 0) + \Phi(i+1, 0)]$$

$$u = 1, \text{ and } r = 1, \quad \longrightarrow \quad \Delta t = \Delta x$$

$$\Delta t = \Delta x = 0.1$$

با انتخاب

68



اعمال روش اجزای محدود به معادلات دیفرانسیل هذلولی

x	0	0.1	0.2	0.3	0.4	0.5	0.6	...
t								
0.0	0	0.3090	0.5879	0.8990	0.9511	1.0	0.9511	
0.1	0	0.2939	0.5590	0.7694	0.9045	0.9511	0.9045	
0.2	0	0.2500	0.4755	0.6545	0.7694	0.8090	0.7694	
0.3	0	0.1816	0.3455	0.4755	0.5590	0.5878	0.5590	
0.4	0	0.0955	0.1816	0.2500	0.2939	0.3090	0.2939	
0.5	0	0	0	0	0	0	0	
0.6	0	-0.0955	-0.1816	-0.2500	-0.2939	-0.3090	-0.2939	
0.7	0	-0.1816	-0.3455	-0.4755	-0.5590	-0.5878	-0.5590	
\vdots	\vdots	\vdots	\vdots	\vdots	\vdots	\vdots	\vdots	

69



اعمال روش اجزای محدود به معادلات دیفرانسیل هذلولی

تمرین سری دوم: مثال فوق را در نرم افزار متلب پیاده سازی نمائید. در هر دو حالت فواصل نقاط را ۱ سانتی متر در نظر بگیرید و تا زمان ۱ ثانیه شبیه سازی کنید.

70



اعمال روش اجزای محدود به معادلات دیفرانسیل بیضوی

فرم کلی معادله (معادله پواسن):

$$\nabla^2 \Phi = \frac{\partial^2 \Phi}{\partial x^2} + \frac{\partial^2 \Phi}{\partial y^2} = g(x, y)$$

تبدیل به معادله تفاضل محدود:

$$\frac{\partial^2 \Phi}{\partial x^2} = \frac{\Phi(i+1, j) - 2\Phi(i, j) + \Phi(i-1, j)}{(\Delta x)^2} + O(\Delta x)^2$$

$$\frac{\partial^2 \Phi}{\partial y^2} = \frac{\Phi(i, j+1) - 2\Phi(i, j) + \Phi(i, j-1)}{(\Delta y)^2} + O(\Delta y)^2$$

71



اعمال روش اجزای محدود به معادلات دیفرانسیل بیضوی

$x = i \Delta x, y = j \Delta y$, and $i, j = 0, 1, 2, \dots$

assume that $\Delta x = \Delta y = h$,



$$\left[\Phi(i+1, j) + \Phi(i-1, j) + \Phi(i, j+1) + \Phi(i, j-1) \right] - 4\Phi(i, j) = h^2 g(i, j)$$



$$\Phi(i, j) = \frac{1}{4} \left[\Phi(i+1, j) + \Phi(i-1, j) + \Phi(i, j+1) + \Phi(i, j-1) - h^2 g(i, j) \right]$$

72

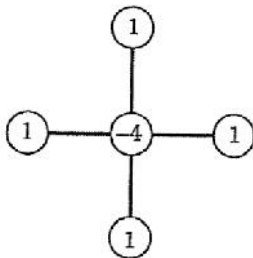


اعمال روش اجزای محدود به معادلات دیفرانسیل بیضوی

اگر منبع ورودی را صفر فرض کنیم معادله پواسن به معادله لاپلاس تبدیل میشود:

$$g(x, y) = 0$$

$$\Phi(i, j) = \frac{1}{4} [\Phi(i+1, j) + \Phi(i-1, j) + \Phi(i, j+1) + \Phi(i, j-1)]$$



مقدار تابع در هر نقطه برابر میانگین مقادیر چهار نقطه اطراف میباشد.

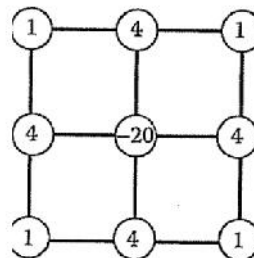
73



اعمال روش اجزای محدود به معادلات دیفرانسیل بیضوی

معادله لاپلاس را با تعاریف مشتق با دقت بالاتر هم میتوان پیاده سازی نمود برای مثال:

$$\begin{aligned} -20\Phi(i, j) + 4[\Phi(i+1, j) + \Phi(i-1, j) + \Phi(i, j+1) + \Phi(i, j-1)] \\ + \Phi(i+1, j-1) + \Phi(i-1, j-1) + \Phi(i-1, j+1) \\ + \Phi(i+1, j+1) = 0 \end{aligned}$$



74



اعمال روش اجزای محدود به معادلات دیفرانسیل بیضوی

معمولا فرم اول بیان معادله لاپلاس برای حل متداولتر است. با استفاده از این روش مقدار تابع در نقطه تابعی از چهار نقطه مجاورش میباشد. در نتیجه حل مسئله تبدیل به حل یک دستگاه بزرگ از معادلات میشود:

$$[A][X] = [B]$$

برای حل این دستگاه معادله دو روش متداول است:

$$[X] = [A]^{-1}[B]$$

روش مستقیم:

روش تکراری: روش جاکوبی، گوس سایدل و ...

75



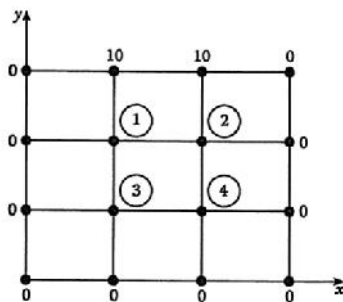
اعمال روش اجزای محدود به معادلات دیفرانسیل بیضوی

مثال: حل معادله لاپلاس زیر

$$\nabla^2 V = 0, \quad 0 \leq x \leq 1, \quad 0 \leq y \leq 1$$

شرایط مرزی:

$$V(x, 1) = 45x(1-x), \quad V(x, 0) = 0 = V(0, y) = V(1, y).$$



با انتخاب $h = 1/3$:

76



اعمال روش اجزای محدود به معادلات دیفرانسیل بیضوی

$$4V_1 - V_2 - V_3 - 0 = 10$$

$$-V_1 + 4V_2 - 0 - V_4 = 10$$

$$-V_1 - 0 + 4V_3 - V_4 = 0$$

$$-0 - V_2 - V_3 + 4V_4 = 0$$

این معادلات را میتوان به صورت ماتریسی بیان نمود:

$$\begin{bmatrix} 4 & -1 & -1 & 0 \\ -1 & 4 & 0 & -1 \\ -1 & 0 & 4 & -1 \\ 0 & -1 & -1 & 4 \end{bmatrix} \begin{bmatrix} V_1 \\ V_2 \\ V_3 \\ V_4 \end{bmatrix} = \begin{bmatrix} 10 \\ 10 \\ 0 \\ 0 \end{bmatrix}$$

77



اعمال روش اجزای محدود به معادلات دیفرانسیل بیضوی

$$[A][V] = [B]$$

با حل این معادله ماتریسی به روش ماتریس معکوس و یا روش تکرار:

$$V_1 = 3.75, \quad V_2 = 3.75, \quad V_3 = 1.25, \quad V_4 = 1.25$$

78



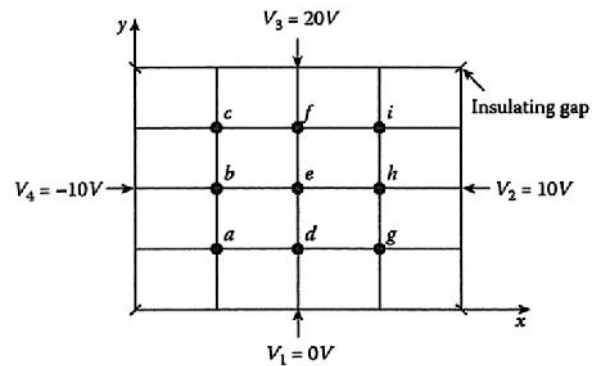
اعمال روش اجزای محدود به معادلات دیفرانسیل بیضوی

تمرین سری سوم: معادله پواسن زیر را حل کنید:

$$\nabla^2 V = -\frac{\rho_s}{\epsilon}, \quad 0 \leq x, y \leq 1$$

در این معادله مقدار چگالی سطحی بار الکتریکی مطابق رابطه زیر تغییر میکند:

$$\rho_s = x(y-1) \text{ nC/m}^2 \quad \text{and} \quad \epsilon_r = 1.0.$$



79



دقت و پایداری روش تفاضل محدود

خطای ناشی از
مدلسازی

خطای ناشی از
مختوم سازی

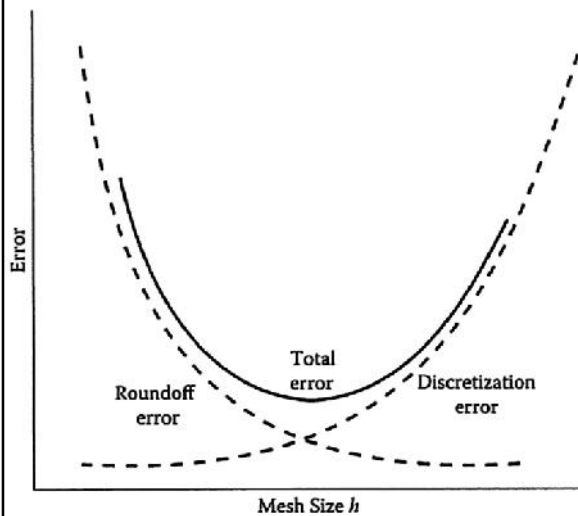
خطاهای ناشی از
گرد کردن

منابع ایجاد خطا

80



دقت و پایداری روش تفاضل محدود



با کوچک کردن سایز مش بندی خطای گسسته سازی کاهش میابد ولی چون حجم حافظه افزایش میابد مجبور به کاهش دقت اعداد هستیم که باعث افزایش خطای گرد کردن میشود.

81



دقت و پایداری روش تفاضل محدود

پایداری: یک الگوریتم عددی زمانی پایدار است که خطای ایجاد شده در هر مرحله منجر به خطای تجمعی کمتر در مرحله بعد شود.

نحوه بررسی: فرض کنیم خطا در مرحله n ام برابر ϵ^n باشد. خطا در مرحله بعد از رابطه زیر محاسبه میشود:

$$\epsilon^{n+1} = g\epsilon^n$$

برای پایداری روش عددی :

$$|\epsilon^{n+1}| \leq |\epsilon^n|$$



$$|g| \leq 1$$

82



دقت و پایداری روش تفاضل محدود

روش ون نیومن:

مثال:

$$\Phi_i^{n+1} = (1-2r)\Phi_i^n + r(\Phi_{i+1}^n + \Phi_{i-1}^n)$$

$$\text{where } r = \Delta t / k(\Delta x)^2$$

استفاده از سری فوریه:

$$\Phi_i^n = \sum A^n(t) e^{jkix}, \quad 0 \leq x \leq 1$$

$$\Phi_i^n = A^n(t) e^{jkix}$$

با در نظر گرفتن یک مود از سری فوریه:

جایگذاری در معادله تفاضلی:

$$A^{n+1} e^{jkix} = (1-2r)A^n e^{jkix} + r(e^{jkx} + e^{-jkx}) A^n e^{jkix}$$

83



دقت و پایداری روش تفاضل محدود

$$A^{n+1} = A^n [1 - 2r + 2r \cos kx]$$

$$\begin{aligned} \text{L} \rightarrow g = \frac{A^{n+1}}{A^n} &= 1 - 2r + 2r \cos kx \\ &= 1 - 4r \sin^2 \frac{kx}{2} \end{aligned} \quad \rightarrow \left| 1 - 4r \sin^2 \frac{kx}{2} \right| \leq 1$$

$$\rightarrow 1 - 4r \geq -1 \quad \text{and} \quad r \geq 0 \quad \rightarrow r \geq \frac{1}{2} \quad \text{and} \quad r \geq 0$$

$$0 < r \leq \frac{1}{2}$$

84



حل معادله انتشار موج یک بعدی در فضای آزاد

معادلات ماکسول در فضای آزاد:

$$\frac{\partial \mathbf{E}}{\partial t} = \frac{1}{\epsilon_0} \nabla \times \mathbf{H}$$

$$\frac{\partial \mathbf{H}}{\partial t} = -\frac{1}{\mu_0} \nabla \times \mathbf{E}.$$

فرض انتشار موج در راستای محور Z باشد و مولفه های موج شامل E_x و H_y باشد.

$$\frac{\partial E_x}{\partial t} = -\frac{1}{\epsilon_0} \frac{\partial H_y}{\partial z}$$

$$\frac{\partial H_y}{\partial t} = -\frac{1}{\mu_0} \frac{\partial E_x}{\partial z}.$$

85



حل معادله انتشار موج یک بعدی در فضای آزاد

با استفاده از تعریف مشتق معادلات به فرم تفاضلی تبدیل می‌گردد:

$$\frac{E_x^{n+1/2}(k) - E_x^{n-1/2}(k)}{\Delta t} = -\frac{1}{\epsilon_0} \frac{H_y^n(k+1/2) - H_y^n(k-1/2)}{\Delta x}$$

$$\frac{H_y^{n+1}(k+1/2) - H_y^n(k+1/2)}{\Delta t} = -\frac{1}{\mu_0} \frac{E_x^{n+1/2}(k+1) - E_x^{n+1/2}(k)}{\Delta x}.$$

متغیر زمان و مکان به صورت زیر تعریف میشوند:

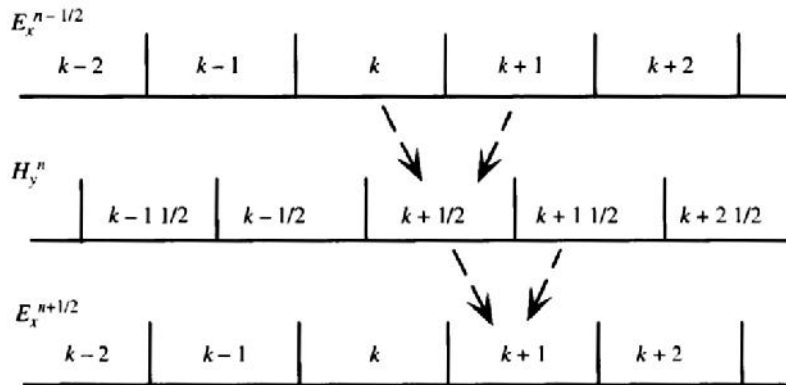
$$t = \Delta t \cdot n$$

$$z = \Delta x \cdot k$$

86



حل معادله انتشار موج یک بعدی در فضای آزاد



87



حل معادله انتشار موج یک بعدی در فضای آزاد

$$E_x^{n+1/2}(k) = E_x^{n-1/2}(k) - \frac{\Delta t}{\epsilon_0 \cdot \Delta x} [H_y^n(k+1/2) - H_y^n(k-1/2)]$$

$$H_y^{n+1}(k+1/2) = H_y^n(k+1/2) - \frac{\Delta t}{\mu_0 \cdot \Delta x} [E_x^{n+1/2}(k+1) - E_x^{n+1/2}(k)].$$

از لحاظ عددی اندازه متغیر E و H بسیار متفاوت است و این مسئله دقت محاسبات را کاهش میدهد برای حل این مشکل از تغییر متغیر زیر استفاده میشود:

$$\tilde{E} = \sqrt{\frac{\epsilon_0}{\mu_0}} E.$$



$$\tilde{E}_x^{n+1/2}(k) = \tilde{E}_x^{n-1/2}(k) - \frac{1}{\sqrt{\epsilon_0 \mu_0}} \frac{\Delta t}{\Delta x} [H_y^n(k+1/2) - H_y^n(k-1/2)]$$

$$H_y^{n+1}(k+1/2) = H_y^n(k+1/2) - \frac{1}{\sqrt{\epsilon_0 \mu_0}} \frac{\Delta t}{\Delta x} [\tilde{E}_x^{n+1/2}(k+1) - \tilde{E}_x^{n+1/2}(k)]$$

88



حل معادله انتشار موج یک بعدی در فضای آزاد

گام های زمانی بر اساس رابطه زیر مشخص میشود:

$$\Delta t = \frac{\Delta x}{2 \cdot c_0}$$

where c_0 is the speed of light in free space.



$$\frac{1}{\sqrt{\epsilon_0 \mu_0}} \frac{\Delta t}{\Delta x} = c_0 \cdot \frac{\Delta x/2 \cdot c_0}{\Delta x} = \frac{1}{2}$$

89



شرط پایداری

سرعت انتشار موج نمیتواند از سرعت نور بیشتر باشد بنابراین حداقل زمانی که طول میکشد که موج به اندازه حرکت کند برابر:

$$\Delta t = \Delta x / c_0$$

در حالت یک بعدی:

$$\Delta t = \Delta x / (\sqrt{2} c_0)$$

در حالت دو بعدی:

$$\Delta t = \Delta x / (\sqrt{3} c_0)$$

در حالت سه بعدی:

شرط کورانت:

$$\Delta t \leq \frac{\Delta x}{\sqrt{n} \cdot c_0},$$

در حالت n بعدی:

$$\Delta t = \frac{\Delta x}{2 \cdot c_0}$$

در این کتاب:

90



شرایط مرزی جاذب در حالت یک بعدی

برای جلوگیری از انعکاس امواج از مرزهای ناحیه حل باید از شرایط مرزی جاذب استفاده نمائیم.

با توجه به گام زمانی انتخاب شده در این مسئله، مسافتی که موج در یک بازه زمانی طی میکند برابر:

$$\text{distance} = c_0 \cdot \Delta t = c_0 \cdot \frac{\Delta x}{c_0} = \frac{\Delta x}{2}.$$

بنابراین میتوان مقدار تابع در مرز ناحیه را با مقدار تابع در نقطه قبلی در دو گام زمانی قبل یکسان فرض نمود.

$$E_x^n(0) = E_x^{n-2}(1).$$

91



حل معادله انتشار موج یک بعدی در یک دی الکتریک

اصلاح روابط:

$$\frac{\partial \mathbf{E}}{\partial t} = \frac{1}{\epsilon_r \epsilon_0} \nabla \times \mathbf{H}$$

$$\frac{\partial \mathbf{H}}{\partial t} = -\frac{1}{\mu_0} \nabla \times \mathbf{E}.$$

اعمال روش تفاضل محدود:

$$\frac{\tilde{E}_x^{n+1/2}(k) - \tilde{E}_x^{n-1/2}(k)}{\Delta t} = \frac{1}{\epsilon_r \sqrt{\epsilon_0 \mu_0}} \cdot \frac{H_y^n(k+1/2) - H_y^n(k-1/2)}{\Delta x}$$

$$\frac{H_y^{n+1}(k+1/2) - H_y^n(k+1/2)}{\Delta t} = -\frac{1}{\mu_0} \frac{\tilde{E}_x^{n+1/2}(k+1) - \tilde{E}_x^{n+1/2}(k)}{\Delta x}.$$

92



حل معادله انتشار موج یک بعدی در یک دی الکتریک

چون $\frac{1}{\sqrt{\epsilon_0 \mu_0}} \frac{\Delta t}{\Delta x} = \frac{1}{2}$



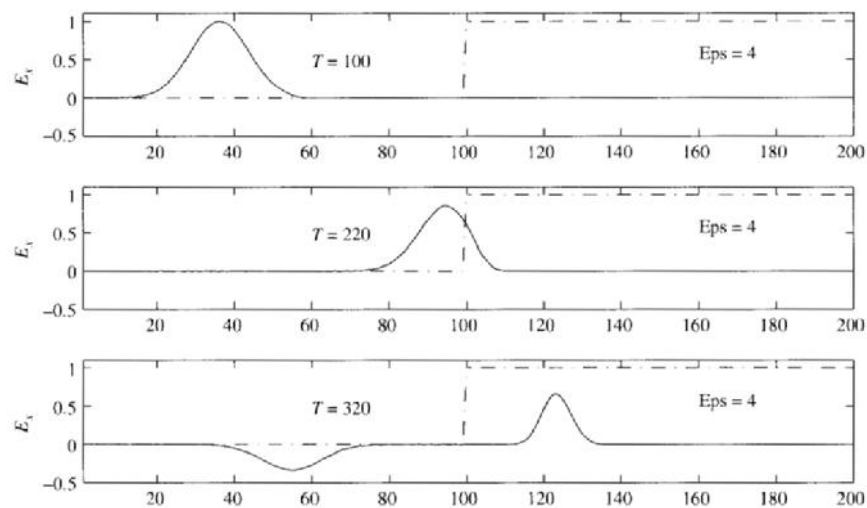
$$\tilde{E}_x^{n+1/2}(k) = \tilde{E}_x^{n+1/2}(k) + \frac{1/2}{\epsilon_r} [H_y^n(k+1/2) - H_y^n(k-1/2)]$$

$$H_y^{n+1}(k+1/2) = H_y^n(k+1/2) - \frac{1}{2} [\tilde{E}_x^{n+1/2}(k+1) - \tilde{E}_x^{n+1/2}(k)].$$

93



حل معادله انتشار موج یک بعدی در یک دی الکتریک



94



تعیین ابعاد مش

به طور معمول برای انتخاب تعداد نقاط برای هر طول موج از عدد ۱۰ استفاده میشود. به طور مثال اگر فرکانس منبع ۴۰۰ مگاهرتز باشد:

$$\lambda_0 = \frac{c_0}{400 \text{ MHz}} = \frac{3 \times 10^8 \text{ m/sec}}{4 \times 10^8 \text{ sec}^{-1}} = .75 \text{ m.}$$



$$\Delta x = \lambda_0 / 10 = 7.5 \text{ cm.}$$

95



حل معادله انتشار موج یک بعدی در فضای آزاد

مثال: شبیه سازی انتشار یک موج الکترومغناطیسی با منبع انتشار گوسی

مرحله اول: ساخت تابع گوسی

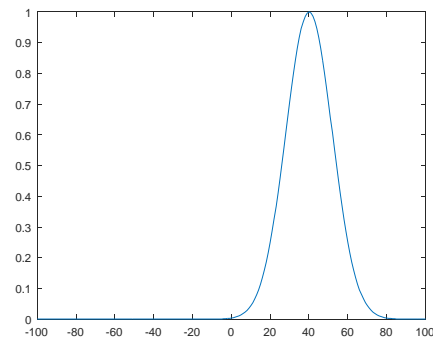
$$f(x, \mu, \sigma) = \frac{1}{\sigma\sqrt{2\pi}} e^{-\frac{1}{2}\left(\frac{x-\mu}{\sigma}\right)^2}$$

$e = 2.7182...$ (Euler's number)

x = data to be plotted

σ = standard deviation

μ = mean, median and mode (all simultaneously)



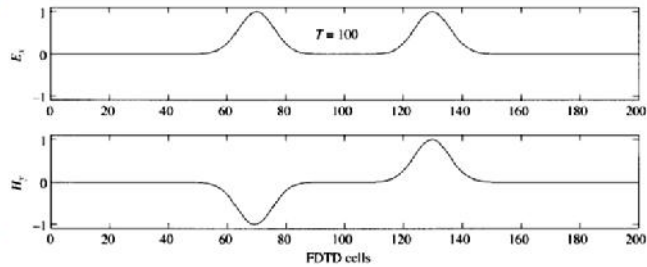
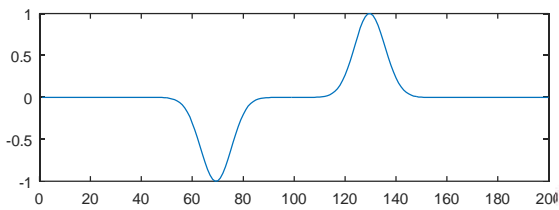
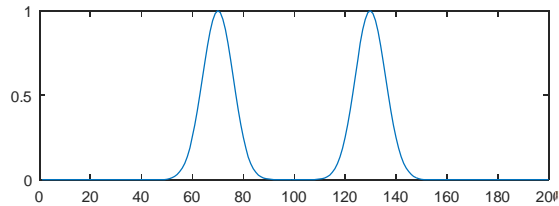
96



حل معادله انتشار موج یک بعدی در فضای آزاد

مرحله دوم: محاسبه میدان ها

پاسخ به ازای $T=100$

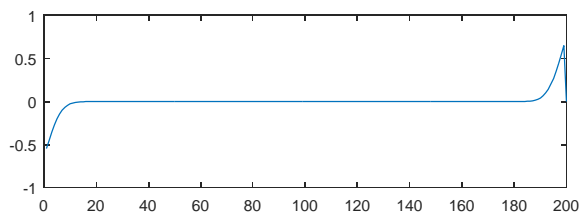
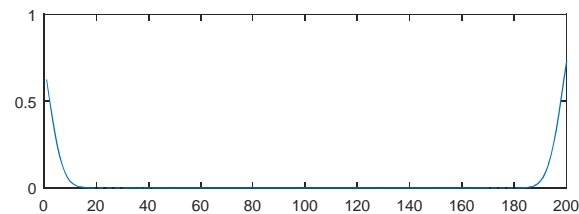


97



حل معادله انتشار موج یک بعدی در فضای آزاد

مرحله سوم: اعمال شرایط مرزی جاذب (تمرین سری چهارم)



98



حل معادله انتشار موج دو بعدی در فضای آزاد

معادلات ماکسول در حالت کلی

$$\frac{\partial \tilde{D}}{\partial t} = \frac{1}{\sqrt{\epsilon_0 \mu_0}} \nabla \times \mathbf{H}$$

$$\tilde{D}(\omega) = \epsilon_r^*(\omega) \cdot \tilde{E}(\omega)$$

$$\frac{\partial \mathbf{H}}{\partial t} = -\frac{1}{\sqrt{\epsilon_0 \mu_0}} \nabla \times \tilde{\mathbf{E}}$$

در مود انتشاری میتوان فرض نمود:

$$\tilde{E}_z, H_x, \text{ and } H_y$$

مود TM:

$$\tilde{E}_x, \tilde{E}_y, \text{ and } H_z$$

مود TE:

99



حل معادله انتشار موج دو بعدی در فضای آزاد

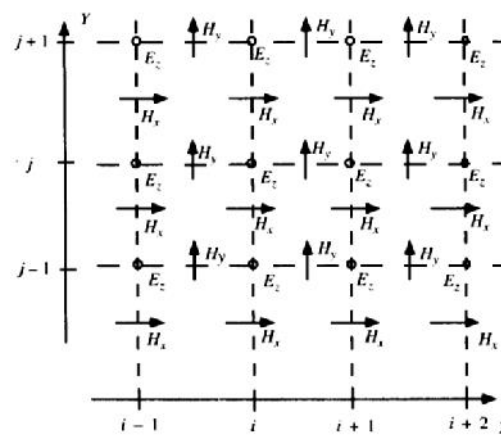
با فرض مود TM

$$\frac{\partial D_z}{\partial t} = \frac{1}{\sqrt{\epsilon_0 \mu_0}} \left(\frac{\partial H_y}{\partial x} - \frac{\partial H_x}{\partial y} \right)$$

$$D_z(\omega) = \epsilon_r^*(\omega) \cdot E_z(\omega)$$

$$\frac{\partial H_x}{\partial t} = -\frac{1}{\sqrt{\epsilon_0 \mu_0}} \frac{\partial E_z}{\partial y}$$

$$\frac{\partial H_y}{\partial t} = \frac{1}{\sqrt{\epsilon_0 \mu_0}} \frac{\partial E_z}{\partial x}$$



100



حل معادله انتشار موج دو بعدی در فضای آزاد

$$\frac{D_z^{n+1/2}(i, j) - D_z^{n-1/2}(i, j)}{\Delta t} = \frac{1}{\sqrt{\epsilon_0 \mu_0}} \left(\frac{H_y^n(i+1/2, j) - H_y^n(i-1/2, j)}{\Delta x} \right) - \frac{1}{\sqrt{\epsilon_0 \mu_0}} \left(\frac{H_x^n(i, j+1/2) - H_x^n(i, j-1/2)}{\Delta x} \right)$$

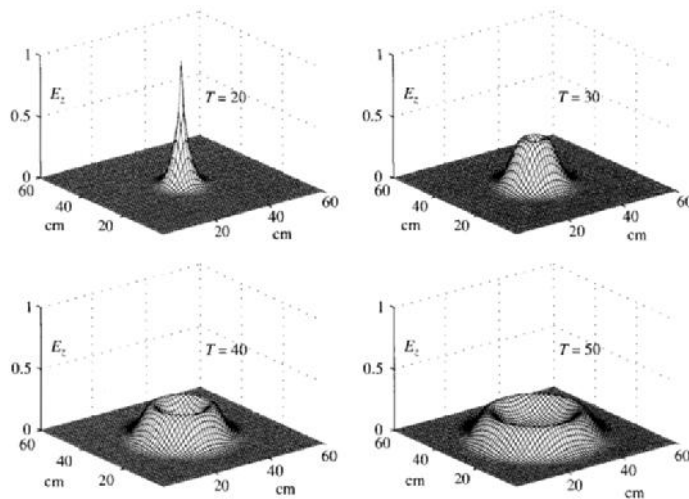
$$\frac{H_x^{n+1}(i, j+1/2) - H_x^n(i, j+1/2)}{\Delta t} = -\frac{1}{\sqrt{\epsilon_0 \mu_0}} \frac{E_z^{n+1/2}(i, j+1) - E_z^{n+1/2}(i, j)}{\Delta x}$$

$$\frac{H_y^{n+1}(i+1/2, j) - H_y^n(i+1/2, j)}{\Delta t} = \frac{1}{\sqrt{\epsilon_0 \mu_0}} \frac{E_z^{n+1/2}(i+1, j) - E_z^{n+1/2}(i, j)}{\Delta x}$$

101



حل معادله انتشار موج دو بعدی در فضای آزاد



102



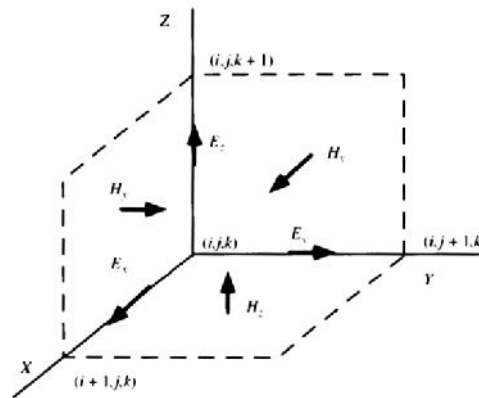
حل معادله انتشار موج سه بعدی در فضای آزاد

معادلات ماکسول در حالت کلی

$$\frac{\partial \tilde{\mathbf{D}}}{\partial t} = \frac{1}{\sqrt{\epsilon_0 \mu_0}} \cdot \nabla \times \mathbf{H}$$

$$\tilde{\mathbf{D}}(\omega) = \epsilon_r^*(\omega) \cdot \tilde{\mathbf{E}}(\omega)$$

$$\frac{\partial \mathbf{H}}{\partial t} = -\frac{1}{\sqrt{\epsilon_0 \mu_0}} \nabla \times \tilde{\mathbf{E}}.$$



استفاده از سلول محاسباتی Yee

103



حل معادله انتشار موج سه بعدی در فضای آزاد

$$\frac{\partial D_x}{\partial t} = \frac{1}{\sqrt{\epsilon_0 \mu_0}} \left(\frac{\partial H_z}{\partial y} - \frac{\partial H_y}{\partial z} \right)$$

$$\frac{\partial D_y}{\partial t} = \frac{1}{\sqrt{\epsilon_0 \mu_0}} \left(\frac{\partial H_x}{\partial z} - \frac{\partial H_z}{\partial x} \right)$$

$$\frac{\partial D_z}{\partial t} = \frac{1}{\sqrt{\epsilon_0 \mu_0}} \left(\frac{\partial H_y}{\partial x} - \frac{\partial H_x}{\partial y} \right)$$

$$\frac{\partial H_x}{\partial t} = \frac{1}{\sqrt{\epsilon_0 \mu_0}} \left(\frac{\partial E_y}{\partial z} - \frac{\partial E_z}{\partial y} \right)$$

$$\frac{\partial H_y}{\partial t} = \frac{1}{\sqrt{\epsilon_0 \mu_0}} \left(\frac{\partial E_z}{\partial x} - \frac{\partial E_x}{\partial z} \right)$$

$$\frac{\partial H_z}{\partial t} = \frac{1}{\sqrt{\epsilon_0 \mu_0}} \left(\frac{\partial E_x}{\partial y} - \frac{\partial E_y}{\partial x} \right).$$

104



حل معادله انتشار موج سه بعدی در فضای آزاد

$$\begin{aligned}
 D_z^{n+1/2}(i, j, k + 1/2) &= D_z^{n-1/2}(i, j, k + 1/2) \\
 &+ \frac{\Delta t}{\Delta x \cdot \sqrt{\epsilon_0 \mu_0}} (H_y^n(i + 1/2, j, k + 1/2) - H_y^n(i - 1/2, j, k + 1/2) \\
 &- H_x^n(i, j + 1/2, k + 1/2) + H_x^n(i, j - 1/2, k + 1/2)) \\
 H_z^{n+1}(i + 1/2, j + 1/2, k) &= H_z^n(i + 1/2, j + 1/2, k) \\
 &- \frac{\Delta t}{\Delta x \cdot \sqrt{\epsilon_0 \mu_0}} (E_y^{n+1/2}(i + 1, j + 1/2, k) - E_y^{n+1/2}(i, j + 1/2, k) \\
 &- E_x^{n+1/2}(i + 1/2, j + 1, k) + E_x^{n+1/2}(i + 1/2, j, k)).
 \end{aligned}$$

105

فصل سوم: روش اجزای محدود

106



مطالب این فصل

❖ معرفی انواع روش های حل مسائل مقدار مرزی

❖ اصول اساسی روش اجزای محدود

❖ روش اجزای محدود اسکالر

❖ روش اجزای محدود برداری

❖ روش اجزای محدود در حوزه زمان

107



روش های حل مسائل مقدار مرزی

به طور کلی بسیاری از مسائل فیزیکی به صورت مسائل مقدار مرزی قابل بیان هستند. یک نمونه از این مسائل که دارای کاربرد زیادی در الکترومغناطیس است به صورت یک معادله دیفرانسیل که در ناحیه Ω تعریف شده و شرایط مرزی آن بر روی مرز بسته این محیط تعیین شده است.

$$\mathcal{L}\phi = f$$

برای حل این معادله دو روش وجود دارد:

❖ روش تحلیلی

❖ روش های تقریبی

در بین روش های تقریبی دو روش ریتز و گالرگین کاربرد بیشتری دارند که در ادامه به طور مختصر به آنها اشاره خواهد شد.

108



روش ریتز

این روش یک روش تغییراتی (Variational Method) است که معادله دیفرانسیل را به فرم یک عبارت تغییراتی (Functional) تبدیل می کند. مقدار مینیمم این عبارت جواب معادله می باشد. در واقع جواب تقریبی از طریق مینیمم کردن این عبارت حاصل می شود. ابتدا تعریف ضرب داخلی را به صورت زیر در نظر می گیریم.

$$\langle \phi, \psi \rangle = \int_{\Omega} \phi \psi^* d\Omega$$

می توان نشان داد که اگر اپراتور \mathcal{L} خود الحاق باشد (یعنی $\langle \mathcal{L}\phi, \psi \rangle = \langle \phi, \mathcal{L}\psi \rangle$)

و مثبت تعریف ($\langle \mathcal{L}\phi, \phi \rangle \begin{cases} > 0 & \phi \neq 0 \\ = 0 & \phi = 0 \end{cases}$) باشد آنگاه

109



روش ریتز

پاسخ معادله دیفرانسیل از مینیمم کردن عبارت زیر بدست می آید.

$$F(\tilde{\phi}) = \frac{1}{2} \langle \mathcal{L}\tilde{\phi}, \tilde{\phi} \rangle - \frac{1}{2} \langle \tilde{\phi}, f \rangle - \frac{1}{2} \langle f, \tilde{\phi} \rangle$$

که در این رابطه تابع $\tilde{\phi}$ می تواند یک تابع دنباله ای به فرم زیر باشد.

$$\tilde{\phi} = \sum_{j=1}^N c_j v_j = \{c\}^T \{v\} = \{v\}^T \{c\}$$

با جایگذاری در معادله اول

$$F = \frac{1}{2} \{c\}^T \int_{\Omega} \{v\} \mathcal{L} \{v\}^T d\Omega \{c\} - \{c\}^T \int_{\Omega} \{v\} f d\Omega$$

110



روش ریتز

برای تعیین مقدار مینیمم این معادله مشتقات جزئی را برابر صفر قرار می دهیم.

$$\begin{aligned}\frac{\partial F}{\partial c_i} &= \frac{1}{2} \int_{\Omega} v_i \mathcal{L}\{v\}^T d\Omega \{c\} + \frac{1}{2} \{c\}^T \int_{\Omega} \{v\} \mathcal{L} v_i d\Omega - \int_{\Omega} v_i f d\Omega \\ &= \frac{1}{2} \sum_{j=1}^N c_j \int_{\Omega} (v_i \mathcal{L} v_j + v_j \mathcal{L} v_i) d\Omega - \int_{\Omega} v_i f d\Omega \\ &= 0 \quad i = 1, 2, 3, \dots, N\end{aligned}$$

که به صورت ماتریسی زیر قابل بیان است.

$$[S]\{c\} = \{b\}$$

که در این رابطه

$$b_i = \int_{\Omega} v_i f d\Omega.$$

111



روش ریتز

$$S_{ij} = \frac{1}{2} \int_{\Omega} (v_i \mathcal{L} v_j + v_j \mathcal{L} v_i) d\Omega$$

با توجه به خاصیت خود الحاقی

$$S_{ij} = \int_{\Omega} v_i \mathcal{L} v_j d\Omega$$

مثال: معادله شرایط مرزی زیر را به روش ریتز حل کنید.

$$\frac{d^2 \phi}{dx^2} = x + 1 \quad 0 < x < 1$$

$$\phi|_{x=0} = 0$$

$$\phi|_{x=1} = 1.$$

112



روش ریتز

حل:

فرم تغییراتی معادله به صورت زیر قابل بیان است.

$$F(\tilde{\phi}) = \frac{1}{2} \int_0^1 \left(\frac{d\tilde{\phi}}{dx} \right)^2 dx + \int_0^1 (x+1)\tilde{\phi} dx$$

فرض کنیم تابع تقریبی حل را می توان به صورت چند جمله ای زیر در نظر گرفت.

$$\tilde{\phi}(x) = c_1 + c_2x + c_3x^2 + c_4x^3$$

با اعمال شرایط مرزی نتیجه می شود که $c_1 = 0$ و $c_2 = 1 - c_3 - c_4$ بنابراین

$$\tilde{\phi}(x) = x + c_3(x^2 - x) + c_4(x^3 - x)$$

113



روش ریتز

با جایگذاری در عبارت تغییراتی نتیجه می شود که

$$F = \frac{2}{5}c_4^2 + \frac{1}{6}c_3^2 + \frac{1}{2}c_3c_4 - \frac{23}{60}c_4 - \frac{1}{4}c_3 + \frac{4}{3}$$

حال با مینیمم کردن این عبارت مقدار ضرایب مجهول را محاسبه می کنیم.

$$\frac{\partial F}{\partial c_3} = \frac{1}{3}c_3 + \frac{1}{2}c_4 - \frac{1}{4}$$

$$\frac{\partial F}{\partial c_4} = \frac{1}{2}c_3 + \frac{4}{5}c_4 - \frac{23}{60}$$



$$c_3 = \frac{1}{2} \text{ and } c_4 = \frac{1}{6}$$

114



روش گالرکین

این روش از خانواده روش های باقی مانده های وزن دار است. در این خانواده از روش ها مقدار باقی مانده به صورت زیر تعریف می شود.

$$r = \mathcal{L}\tilde{\phi} - f \neq 0$$

انتخاب تابع $\tilde{\phi}$ به یکی از روش های زیر انجام می شود.

۱- روش تطبیق نقطه ای

در این روش تابع وزن، تابع دلتای دیراک انتخاب می شود. در نتیجه عمل صفر کردن باقی مانده نقطه به نقطه انجام می شود.

$$R_i = [\mathcal{L}\{v\}^T \{c\} - f]_{\text{at point } i} = 0$$

115



روش گالرکین

۲- روش زیر دامنه

در این روش تابع وزن در یک زیر دامنه خاص ثابت فرض شده و در سایر نقاط صفر در نظر گرفته می شود.

$$R_i = \int_{\Omega_i} (\mathcal{L}\{v\}^T \{c\} - f) d\Omega = 0$$

۳- روش مینیمم مربعات

در این روش مربع خطای باقی مانده حداقل می شود.

$$I = \frac{1}{2} \int_{\Omega} r^2 d\Omega$$

$$\frac{\partial I}{\partial c_i} = \int_{\Omega} \mathcal{L}v_i (\mathcal{L}\{v\}^T \{c\} - f) d\Omega = 0$$

116



روش گالرکین

۴- روش گالرکین

در این روش سعی می شود که مقدار خطای باقیمانده وزن دار در کل ناحیه حداقل شود بنابراین از دقت بالایی برخوردار است.

$$R_i = \int_{\Omega} w_i r \, d\Omega = 0$$

در این روش توابع وزن مشابه توابع مورد استفاده برای بسط حل تقریبی معادله انتخاب می

شود. به عبارت دیگر $w_i = v_i \quad i = 1, 2, 3, \dots, N$

بنابراین با جایگذاری در معادله

$$R_i = \int_{\Omega} (v_i \mathcal{L}\{v\}^T \{c\} - v_i f) \, d\Omega = 0 \quad i = 1, 2, 3, \dots, N$$

117



روش گالرکین

مثال: مطلوب است حل معادله شرایط مرزی زیر را به روش گالرکین

$$\frac{d^2 \phi}{dx^2} = x + 1 \quad 0 < x < 1 \quad \phi|_{x=0} = 0$$

$$\phi|_{x=1} = 1.$$

حل: باقی مانده وزن دار این تابع به فرم زیر است.

$$\int_0^1 w_i \left(\frac{d^2 \tilde{\phi}}{dx^2} - x - 1 \right) dx = 0$$

مطابق توضیحاتی که در حل به روش ریتز ارائه شد، تابع تقریب حل به صورت زیر است.

$$\tilde{\phi}(x) = x + c_3(x^2 - x) + c_4(x^3 - x)$$

118



روش گالرکین

توابع وزن را نیز به صورت زیر در نظر می گیریم.

$$w_1 = x^2 - x \quad w_2 = x^3 - x$$

با جایگذاری در عبارت باقیمانده وزن دار نتیجه می شود که

$$\frac{1}{3}c_3 + \frac{1}{2}c_4 - \frac{1}{4} = 0$$

$$\frac{1}{2}c_3 + \frac{4}{5}c_4 - \frac{23}{60} = 0.$$



$$c_3 = \frac{1}{2} \text{ and } c_4 = \frac{1}{6}$$

119



روش اجزای محدود اسکالر

روش اجزای محدود بر اساس ساختار مسئله ای که برای حل مورد استفاده قرار می گیرد به سه دسته تقسیم می شود:

❖ روش اجزای محدود یک بعدی

❖ روش اجزای محدود دو بعدی

❖ روش اجزای محدود سه بعدی

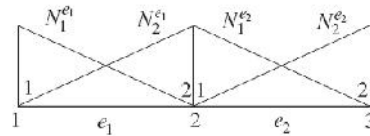
• تفاوت اساسی این سه روش در انتخاب شکل المان ها و نحوه تعریف توابع درون یابی برای هر المان است.

120



روش اجزای محدود اسکالر

در حالت یک بعدی برای هر یک از گره های دو سر المان یک تابع درون یابی محلی را انتخاب می کنیم.



تابع تقریب حل بر اساس این توابع درون یابی و مقادیر اختصاص یافته به هر گره به صورت زیر تعریف می شود.

$$\bar{f} = \sum_{i=1}^n \alpha_i N_i$$

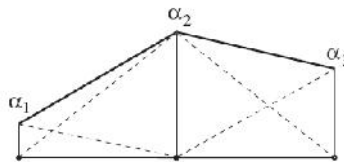
که در این رابطه α_i ضرایب حل در هر گره و n تعداد کل گره ها را نشان می دهد

121



روش اجزای محدود اسکالر

بر این اساس حل تقریبی در شکل زیر نشان داده شده است:



یکی از معادلات دیفرانسیلی که در بسیاری از کاربردها مورد استفاده قرار می گیرد به صورت زیر است:

$$\frac{d}{dx} \left[\lambda \frac{du}{dx} \right] + k^2 u - p = 0$$

که در این رابطه λ و k مقادیر ثابت و p تابع تحریک است. ناحیه حل نیز $[a, b]$ در نظر گرفته شده است.

122



روش اجزای محدود اسکالر

اگر حل تقریبی معادله را در آن جایگزین کنیم و بر طبق روش مانده های وزن دار انتگرال گیری کنیم رابطه زیر بدست می آید:

$$\int_a^b \left[\frac{d}{dx} \left(\lambda \frac{d\bar{u}}{dx} \right) + k^2 \bar{u} - p \right] W_j dx = 0, j = 1, 2, \dots, n$$

به این نوع فورمولاسیون مسئله فورمولاسیون قوی گفته می شود. می توان نشان داد که این رابطه را به صورت زیر نیز می توان تبدیل کرد که به آن فورمولاسیون ضعیف می گویند:

$$\int_a^b k^2 \bar{u} W_j dx + \lambda \left. \frac{d\bar{u}}{dx} W_j \right|_a^b - \int_a^b \lambda \frac{d\bar{u}}{dx} \frac{dW_j}{dx} dx = \int_a^b p W_j dx$$

123



روش اجزای محدود اسکالر

با اعمال روش اجزای محدود و با انتخاب روش گارلرکین این معادله دیفرانسیل به معادله ماتریسی زیر تبدیل می شود:

$$[a]\{\alpha\} = \{b\} + \{Q\}$$

که در این رابطه ماتریس $[a]$ ماتریس کل سیستم، ماتریس $\{\alpha\}$ بردار حل، ماتریس $\{b\}$ بردار تحریک و ماتریس $\{Q\}$ بردار چگالی شار است. تقریب محلی برای تابع در هر المان به صورت زیر قابل بیان است:

$$\bar{u}^e = \alpha_1^e N_1^e(x) + \alpha_2^e N_2^e(x)$$

با جایگذاری این تقریب در فورمولاسیون ضعیف معادله دیفرانسیل، فرم ماتریسی فوق حاصل می گردد.

124



روش اجزای محدود اسکالر

با جایگذاری این عبارت ضرایب مجهول به صورت زیر بدست می آید:

$$a_{jn}^e = \int_{x_1^e}^{x_2^e} k^2 N_i^e N_j^e dx - \int_{x_1^e}^{x_2^e} \lambda \frac{dN_i^e}{dx} \frac{dN_j^e}{dx} dx$$

$$b_j^e = \int_{x_1^e}^{x_2^e} p N_j^e dx$$

بنابراین معادلات ماتریسی برای یک المان به صورت زیر قابل بیان است:

$$\begin{bmatrix} a_{11}^e & a_{12}^e \\ a_{21}^e & a_{22}^e \end{bmatrix} \cdot \begin{bmatrix} \alpha_1^e \\ \alpha_2^e \end{bmatrix} = \begin{bmatrix} b_1^e \\ b_2^e \end{bmatrix} + \begin{bmatrix} -\lambda \frac{du}{dx} \Big|_{x=x_1^e} \\ \lambda \frac{du}{dx} \Big|_{x=x_2^e} \end{bmatrix}$$

125



روش اجزای محدود اسکالر

با جایگذاری این عبارت ضرایب مجهول به صورت زیر بدست می آید:

$$\begin{bmatrix} a_{11}^e & a_{12}^e \\ a_{21}^e & a_{22}^e \end{bmatrix} \cdot \begin{bmatrix} \alpha_1^e \\ \alpha_2^e \end{bmatrix} = \begin{bmatrix} b_1^e \\ b_2^e \end{bmatrix} + \begin{bmatrix} -\lambda \frac{du}{dx} \Big|_{x=x_1^e} \\ \lambda \frac{du}{dx} \Big|_{x=x_2^e} \end{bmatrix}$$

ماتریس کلی سیستم بر اساس ماتریس های محله، به صورت زیر ساخته می شود

$$\begin{bmatrix} a_{11}^{e_1} & a_{12}^{e_1} & 0 & \dots & 0 \\ a_{21}^{e_1} & a_{22}^{e_1} + a_{12}^{e_2} & a_{12}^{e_2} & & 0 \\ 0 & a_{21}^{e_2} & a_{22}^{e_2} + a_{12}^{e_3} & & \vdots \\ \vdots & & & \ddots & a_{12}^{e_n} \\ 0 & 0 & \dots & a_{21}^{e_n} & a_{22}^{e_n} \end{bmatrix} \cdot \begin{bmatrix} \alpha_1 \\ \alpha_2 \\ \alpha_3 \\ \vdots \\ \alpha_n \end{bmatrix} = \begin{bmatrix} b_1^{e_1} \\ b_2^{e_1} + b_1^{e_2} \\ b_2^{e_2} + b_1^{e_3} \\ \vdots \\ b_2^{e_n} \end{bmatrix} + \begin{bmatrix} -\lambda \frac{du}{dx} \Big|_{x=a} \\ 0 \\ 0 \\ \vdots \\ \lambda \frac{du}{dx} \Big|_{x=b} \end{bmatrix}$$

126



روش اجزای محدود اسکالر

در صورتی که شرایط مرزی مسئله دیریکله باشد آنگاه:
در این حالت فرم ماتریسی به صورت زیر ساده می شود:

$$\alpha_1 = u(a), \quad \alpha_n = u(b)$$

$$\begin{bmatrix} a_{22}^{e_1} + a_{11}^{e_2} & a_{12}^{e_2} & 0 & \dots & 0 \\ a_{21}^{e_2} & a_{22}^{e_2} + a_{11}^{e_3} & a_{12}^{e_3} & & 0 \\ 0 & a_{21}^{e_3} & a_{22}^{e_3} + a_{11}^{e_4} & & \vdots \\ \vdots & & & \ddots & a_{12}^{e_{n-1}} \\ 0 & 0 & \dots & a_{21}^{e_{n-1}} & a_{22}^{e_{n-1}} + a_{11}^{e_n} \end{bmatrix} \cdot \begin{bmatrix} \alpha_2 \\ \alpha_3 \\ \alpha_4 \\ \vdots \\ \alpha_{n-1} \end{bmatrix} = \begin{bmatrix} b_2^{e_1} + b_1^{e_2} \\ b_2^{e_2} + b_1^{e_3} \\ b_2^{e_3} + b_1^{e_4} \\ \vdots \\ b_2^{e_{n-1}} + b_1^{e_n} \end{bmatrix} + \begin{bmatrix} 0 \\ 0 \\ 0 \\ \vdots \\ 0 \end{bmatrix} - \begin{bmatrix} \alpha_1 a_{21}^{e_1} \\ 0 \\ 0 \\ \vdots \\ 0 \end{bmatrix} - \begin{bmatrix} 0 \\ 0 \\ 0 \\ \vdots \\ \alpha_n a_{12}^{e_n} \end{bmatrix}$$

127



روش اجزای محدود اسکالر

مثال: حل معادله $\frac{d^2 u}{dx^2} - F = 0$ به روش اجزای محدود با شرایط مرزی دیریکله که

$$u(0) = 0; \quad u(L) = F$$

در بازه $[0, L]$ تعریف شده است.

حل:

ابتدا فورمولاسیون ضعیف معادله را بدست می آوریم.

$$\frac{du}{dx} W_j \Big|_0^L - \int_0^L \frac{du}{dx} \frac{dW_j}{dx} dx = \int_0^L F W_j dx$$

سپس ناحیه حل را گسسته می کنیم.



128



روش اجزای محدود اسکالر

سپس توابع درون یابی در هر المان را به صورت زیر تعریف می کنیم.

$$u^e = \alpha_1 N_1(x) + \alpha_2 N_2(x)$$

$$N_1(x) = \frac{x_2 - x}{\Delta x}; \quad \frac{\partial N_1}{\partial x} = -\frac{1}{\Delta x} \quad \text{که در این رابطه}$$

$$N_2(x) = \frac{x - x_1}{\Delta x}; \quad \frac{\partial N_2}{\partial x} = \frac{1}{\Delta x}$$

$$a_{\mu}^e = \int_{x_1}^{x_2} \frac{dN_j^e}{dx} \frac{dN_i^e}{dx} dx \quad \text{سپس با جایگذاری در معادله فرم ماتریسی معادله را بدست می آوریم.}$$

$$b_j^e = - \int_{x_1}^{x_2} F N_j^e dx$$

129



روش اجزای محدود اسکالر

$$a_{11} = \int_{x_1}^{x_2} \frac{dN_1}{dx} \frac{dN_1}{dx} dx = \int_{x_1}^{x_2} \left(-\frac{1}{\Delta x}\right) \left(-\frac{1}{\Delta x}\right) dx = \left(\frac{1}{\Delta x}\right)^2 dx = \frac{1}{\Delta x}$$

$$a_{12} = a_{21} = \int_{x_1}^{x_2} \frac{dN_1}{dx} \frac{dN_2}{dx} dx = \int_{x_1}^{x_2} \left(-\frac{1}{\Delta x}\right) \left(\frac{1}{\Delta x}\right) dx = -\frac{1}{\Delta x}$$

$$a_{22} = \int_{x_1}^{x_2} \frac{dN_2}{dx} \frac{dN_2}{dx} dx = \int_{x_1}^{x_2} \left(\frac{1}{\Delta x}\right) \left(\frac{1}{\Delta x}\right) dx = \frac{1}{\Delta x}$$

$$b_1 = - \int_{x_1}^{x_2} F \frac{x_2 - x}{\Delta x} dx = -F \frac{\Delta x}{2}$$

$$b_2 = - \int_{x_1}^{x_2} F \frac{x - x_1}{\Delta x} dx = -F \frac{\Delta x}{2}$$

130



روش اجزای محدود اسکالر

بر این اساس ماتریس محلی برای هر المان به صورت زیر تعریف می شود.

$$\frac{1}{\Delta x} \begin{bmatrix} 1 & -1 \\ -1 & 1 \end{bmatrix} \begin{bmatrix} \alpha_1^e \\ \alpha_2^e \end{bmatrix} = -F \frac{\Delta x}{2} \begin{bmatrix} 1 \\ 1 \end{bmatrix} + \begin{bmatrix} -\frac{du}{dx} \Big|_{x=x_1} \\ \frac{du}{dx} \Big|_{x=x_2} \end{bmatrix}$$

با استفاده از ماتریس های محلی برای گره های مختلف، ماتریس کلی سیستم به صورت زیر بدست می آید.

$$\underbrace{\frac{1}{\Delta x} \begin{bmatrix} 1 & -1 & 0 & 0 \\ -1 & 2 & -1 & 0 \\ 0 & -1 & 2 & -1 \\ 0 & 0 & -1 & 1 \end{bmatrix}}_{\text{global-system-matrix}} \underbrace{\begin{bmatrix} \alpha_1 \\ \alpha_2 \\ \alpha_3 \\ \alpha_4 \end{bmatrix}}_{\text{solution-vector}} = \underbrace{-F \frac{\Delta x}{2} \begin{bmatrix} 1 \\ 2 \\ 2 \\ 1 \end{bmatrix}}_{\text{right-hand-side-vector}} + \underbrace{\begin{bmatrix} -\frac{du}{dx} \Big|_{x=0} \\ 0 \\ 0 \\ \frac{du}{dx} \Big|_{x=L} \end{bmatrix}}_{\text{flux-density-vector}}$$

131



روش اجزای محدود اسکالر

با در نظر گرفتن شرایط مرزی دیریکله ماتریس به صورت زیر ساده می شود.

$$\frac{1}{\Delta x} \begin{bmatrix} 2 & -1 \\ -1 & 2 \end{bmatrix} \begin{bmatrix} \alpha_2 \\ \alpha_3 \end{bmatrix} = -\frac{1}{\Delta x} \begin{bmatrix} -1 & 0 \\ 0 & -1 \end{bmatrix} \begin{bmatrix} 0 \\ F \end{bmatrix} - F \frac{\Delta x}{2} \begin{bmatrix} 2 \\ 2 \end{bmatrix} + \begin{bmatrix} 0 \\ 0 \end{bmatrix}$$

با حل دستگاه فوق مقادیر مجهول به صورت زیر بدست می آید.

$$\alpha_2 = -\frac{4}{3}F$$

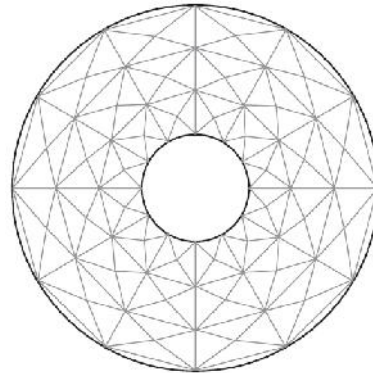
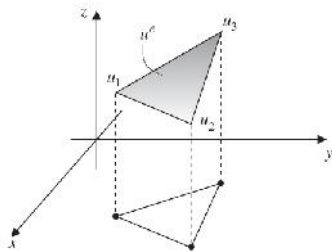
$$\alpha_3 = -\frac{2}{3}F$$

132



روش اجزای محدود اسکالر

در حالت دو بعدی المان ها به صورت المان هایی سطح در نظر گرفته می شوند. یکی از متداول ترین المان هایی که می توان در نظر گرفت المان مثلثی است.



133

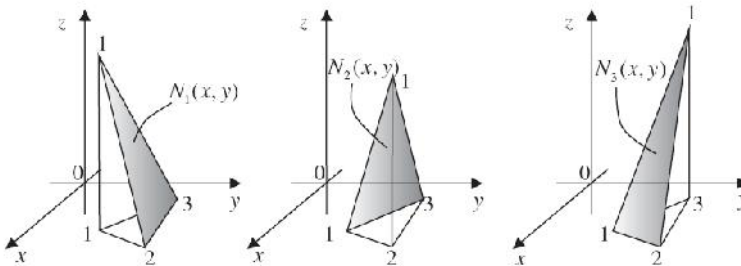


روش اجزای محدود اسکالر

تابع درون یابی که در حالت دو بعدی برای هر المان تعریف می شود:

$$u^e = \alpha_1^e N_1^e(x, y) + \alpha_2^e N_2^e(x, y) + \alpha_3^e N_3^e(x, y)$$

شکل توابع درون یابی به صورت زیر است.



134



روش اجزای محدود اسکالر

معادله هر یک از این توابع به فرم زیر قابل بیان است.

$$N_1(x, y) = \frac{1}{2A} (2A_1 + b_1x + a_1y)$$

$$N_2(x, y) = \frac{1}{2A} (2A_2 + b_2x + a_2y)$$

$$N_3(x, y) = \frac{1}{2A} (2A_3 + b_3x + a_3y)$$

$$2A_1 = x_2y_3 - x_3y_2 \quad a_1 = x_3 - x_2 \quad b_1 = y_2 - y_3$$

$$2A_2 = x_3y_1 - x_1y_3 \quad a_2 = x_1 - x_3 \quad b_2 = y_3 - y_1$$

$$2A_3 = x_1y_2 - x_2y_1 \quad a_3 = x_2 - x_1 \quad b_3 = y_1 - y_2$$

که در این رابطه

$$2A = 2(A_1 + A_2 + A_3)$$

135



روش اجزای محدود اسکالر

قدم بعد در حل مسئله بیان معادله به فرم فورمولاسیون ضعیف است. برای این منظور معادله هلمهلتز را به صورت زیر در نظر می گیریم.

$$\nabla(k\nabla u) + ru = p$$

که در این رابطه $\hat{\lambda}$ و k به جنس محیط وابسته هستند و P نشان دهنده منبع تحریک است. با اعمال روش باقیمانده های وزن دار معادله فوق به صورت زیر تبدیل می شود.

$$\int_{\Omega} [\nabla(k\nabla u) + ru - p] W_j d\Omega = 0$$

می توان نشان داد که فرم فورمولاسیون ضعیف این رابطه به صورت زیر قابل بیان است.

$$\int_{\Omega} [(k\nabla u) \nabla W_j - ru W_j] d\Omega = \int_{\Gamma} k \frac{\partial u}{\partial n} W_j d\Gamma - \int_{\Omega} p W_j d\Omega$$

136



روش اجزای محدود اسکالر

بر اساس الگوریتم اجزای محدود، حل تقریبی برای هر المان به صورت زیر قابل بیان است.

$$u^e = \{N\}^T \{\alpha\} = [N_1 \quad N_2 \quad N_3] \begin{bmatrix} \alpha_1 \\ \alpha_2 \\ \alpha_3 \end{bmatrix}$$

بنابراین

$$\nabla u = \begin{bmatrix} \frac{\partial u}{\partial x} \\ \frac{\partial u}{\partial y} \end{bmatrix} = \begin{bmatrix} \frac{\partial N_1}{\partial x} & \frac{\partial N_2}{\partial x} & \frac{\partial N_3}{\partial x} \\ \frac{\partial N_1}{\partial y} & \frac{\partial N_2}{\partial y} & \frac{\partial N_3}{\partial y} \end{bmatrix} \begin{bmatrix} \alpha_1 \\ \alpha_2 \\ \alpha_3 \end{bmatrix}$$

با استفاده از روش گالرکین و با جایگذاری معادله فوق، فورمولاسیون ضعیف به صورت ماتریسی قابل بیان است.

$$[a]\{\alpha\} = \{b\} + \{Q\}$$

137



روش اجزای محدود اسکالر

بر اساس این رابطه

$$[a]^e = k_e \int_{\Omega} \begin{bmatrix} \frac{\partial N_1}{\partial x} & \frac{\partial N_1}{\partial y} \\ \frac{\partial N_2}{\partial x} & \frac{\partial N_2}{\partial y} \\ \frac{\partial N_3}{\partial x} & \frac{\partial N_3}{\partial y} \end{bmatrix} \begin{bmatrix} \frac{\partial N_1}{\partial x} & \frac{\partial N_2}{\partial x} & \frac{\partial N_3}{\partial x} \\ \frac{\partial N_1}{\partial y} & \frac{\partial N_2}{\partial y} & \frac{\partial N_3}{\partial y} \end{bmatrix} d\Omega - r_e \int_{\Omega} \begin{bmatrix} N_1 \\ N_2 \\ N_3 \end{bmatrix} [N_3 \quad N_2 \quad N_3] d\Omega$$

از آنجایی که $\frac{\partial N_i}{\partial x} = \frac{b_i}{2A}$; $\frac{\partial N_i}{\partial y} = \frac{a_i}{2A}$ رابطه فوق به صورت زیر تبدیل می شود.

$$[a]^e = \frac{k_e}{4A} \begin{bmatrix} a_1^2 + b_1^2 & a_1 a_2 + b_1 b_2 & a_1 a_3 + b_1 b_3 \\ a_2 a_1 + b_2 b_1 & a_2^2 + b_2^2 & a_2 a_3 + b_2 b_3 \\ a_3 a_1 + b_3 b_1 & a_3 a_2 + b_3 b_2 & a_3^2 + b_3^2 \end{bmatrix} - \frac{r_e A}{12} \begin{bmatrix} 2 & 1 & 1 \\ 1 & 2 & 1 \\ 1 & 1 & 2 \end{bmatrix}$$

138



روش اجزای محدود اسکالر

شار خروجی برای یک المان سطحی از رابطه زیر محاسبه می شود.

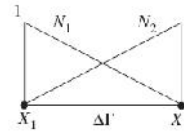
$$Q_e = \int_{\Gamma_e} q_e N_f d\Gamma$$

که در این رابطه $q = k \partial u / \partial n$

از آن جایی که طول المان ها معمولا کوچک است شار خروجی را می توان در طول هر المان ثابت فرض کرد. از طرف دیگر این شار را در روش اجزای محدود به صورت متمرکز فرض کرده و به گره اختصاص می دهیم.

شار برای یک المان که بر روی مرز قرار دارد به صورت زیر تعریف می شود.

$$\{Q\}^e = \int_{\Delta\Gamma} q_e \begin{Bmatrix} N_1 \\ N_2 \end{Bmatrix} d\Gamma$$

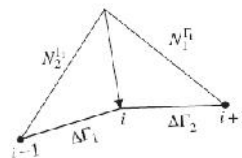
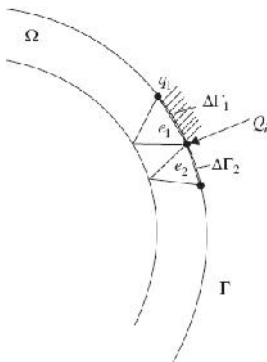


139



روش اجزای محدود اسکالر

بنابراین شار اختصاص داده شده به هر گره در صورت زیر تعریف می شود.



$$Q_i = \int_{\Delta\Gamma_1} q_1 N_2^{\Gamma_1} d\Gamma + \int_{\Delta\Gamma_2} q_2 N_1^{\Gamma_2} d\Gamma$$

با فرض ثابت بودن q_1 and q_2

$$Q_i = q_1 \frac{\Delta\Gamma_1}{2} + q_2 \frac{\Delta\Gamma_2}{2}$$

140



روش اجزای محدود اسکالر

آخرین قسمت باقیمانده تعیین اثرات منبع است.

$$\{p\}^e = \int_{\Omega_e} p_e \{N\} d\Omega = \int_{\Omega_e} p_e \begin{Bmatrix} N_1 \\ N_2 \\ N_3 \end{Bmatrix} d\Omega$$

در صورتی که المان به اندازه کافی کوچک انتخاب شده باشد که بتوان مقدار منبع را بر روی آن ثابت در نظر گرفت.

$$\{p\}^e = p_e \int_{\Omega} \{N\} d\Omega$$

مقدار انتگرال فوق به صورت زیر قابل محاسبه است.

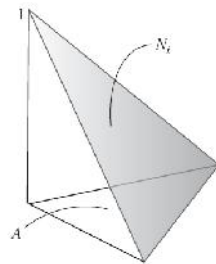
$$\int_{\Omega_e} N_i d\Omega \Rightarrow \iint_{\Omega} N_i(x, y) dx dy$$

141



روش اجزای محدود اسکالر

مقدار این انتگرال برابر حجم محصور داخل تابع درون یابی است.



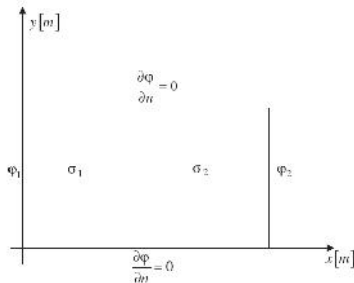
$$\{p\}^e = \frac{1}{3} p_e \begin{Bmatrix} 1 \\ 1 \\ 1 \end{Bmatrix} A$$

142



روش اجزای محدود اسکالر

مثال: توزیع پتانسیل اسکالر برای ناحیه نشان داده شده در شکل را با توجه به شرایط زیر بدست آورید.



$$\sigma_1 = 1 \text{ S/m}, \sigma_2 = 3 \text{ S/m}$$

$$\varphi_1 = 100 \text{ V}, \varphi_2 = 0 \text{ V}$$

حل:

ابتدا معادله دیفرانسیل مربوطه را استخراج می کنیم.

$$\vec{E} = -\nabla \varphi$$

$$\nabla \vec{J} = 0; \quad \vec{J} = \sigma \vec{E}$$

$$\longrightarrow \nabla(\sigma \nabla \varphi) = 0$$

143



روش اجزای محدود اسکالر

با تبدیل فرم معادله به فورمولاسیون ضعیف نتیجه زیر حاصل می شود.

$$\int_{\Omega} (\sigma \nabla \varphi) \nabla N_j d\Omega = \int_{\Gamma} \sigma \frac{\partial \varphi}{\partial n} N_j d\Gamma$$

با توجه به اینکه شرایط مرزی در مرز بالا و پایین از نوع نیومن همگن است، در این مرزها می توان نتیجه گرفت که

$$\int_{\Omega} (\sigma \nabla \varphi) \nabla N_j d\Omega = 0$$

حل تقریبی معادله را به صورت زیر می توان در نظر گرفت.

$$\varphi = \{N\}^T \{\alpha\}$$

144

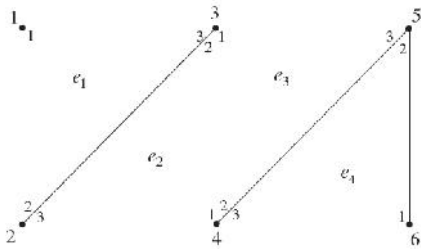


روش اجزای محدود اسکالر

با جایگذاری این رابطه در معادله، فرم ماتریسی معادله حاصل می شود که ضرایب آن به صورت زیر قابل بیان است.

$$[a]^e = \frac{\sigma_e}{4A} \begin{bmatrix} a_1^2 + b_1^2 & a_1 a_2 + b_1 b_2 & a_1 a_3 + b_1 b_3 \\ a_2 a_1 + b_2 b_1 & a_2^2 + b_2^2 & a_2 a_3 + b_2 b_3 \\ a_3 a_1 + b_3 b_1 & a_3 a_2 + b_3 b_2 & a_3^2 + b_3^2 \end{bmatrix}$$

ناحیه حل مطابق شکل زیر به المان های محدود تقسیم بندی شده است.



145



روش اجزای محدود اسکالر

هر یک از گره ها به دو صورت محلی و سراسری شماره گذاری شده اند.

$$[a]^e = \frac{\sigma_e}{4A} \begin{bmatrix} a_1^2 + b_1^2 & a_1 a_2 + b_1 b_2 & a_1 a_3 + b_1 b_3 \\ a_2 a_1 + b_2 b_1 & a_2^2 + b_2^2 & a_2 a_3 + b_2 b_3 \\ a_3 a_1 + b_3 b_1 & a_3 a_2 + b_3 b_2 & a_3^2 + b_3^2 \end{bmatrix}$$

با جایگذاری مقادیر برای المان های مختلف ماتریس ضرایب به صورت زیر بدست می آید.

$$[a]^{e_1} = \frac{1}{2} \begin{bmatrix} 2 & -1 & -1 \\ -1 & 1 & 0 \\ -1 & 0 & 1 \end{bmatrix} \quad [a]^{e_2} = \frac{1}{2} \begin{bmatrix} 2 & -1 & -1 \\ -1 & 1 & 0 \\ -1 & 0 & 1 \end{bmatrix}$$

$$[a]^{e_3} = [a]^{e_4} = \frac{1}{2} \begin{bmatrix} 6 & -3 & -3 \\ -3 & 3 & 0 \\ -3 & 0 & 3 \end{bmatrix}$$

146



روش اجزای محدود اسکالر

ماتریسی سراسری سیستم بر اساس ماتریس های محلی به صورت زیر قابل بازسازی است.

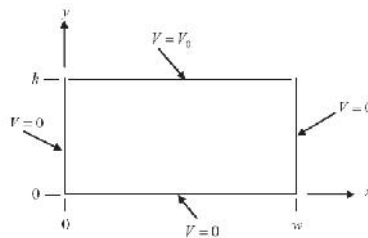
$$\frac{1}{2} \cdot \begin{bmatrix} 2 & - & - & 0 & 0 & 0 \\ - & 2 & 0 & - & 0 & 0 \\ - & 0 & 8 & - & - & 0 \\ 0 & - & - & 8 & 0 & - \\ 0 & 0 & - & 0 & 6 & - \\ 0 & 0 & 0 & - & - & 6 \end{bmatrix} \begin{bmatrix} 100 \\ 100 \\ \alpha_3 \\ \alpha_4 \\ 0 \\ 0 \end{bmatrix} = \begin{bmatrix} 0 \\ 0 \\ 0 \\ 0 \\ 0 \\ 0 \end{bmatrix} + \begin{bmatrix} Q_1 \\ Q_2 \\ 0 \\ 0 \\ Q_5 \\ Q_6 \end{bmatrix}$$

147



روش اجزای محدود اسکالر

مثال ۲- حل معادله لاپلاس $\frac{\partial^2 V}{\partial x^2} + \frac{\partial^2 V}{\partial y^2} = 0$ برای ناحیه نشان داده شده در شکل



حل: حل تحلیلی این معادله بسیار ساده بوده و به صورت زیر قابل بیان است.

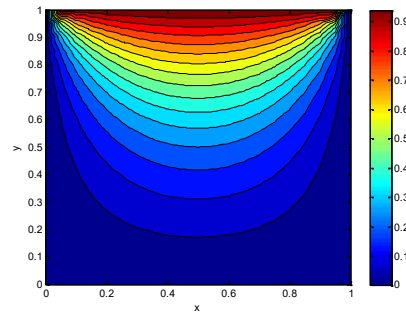
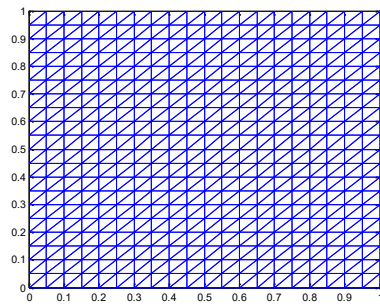
$$V(x, y) = \frac{4V_0}{\pi} \sum_{k=1}^{\infty} \frac{\sin \frac{(2k-1)\pi x}{w} \sinh \frac{(2k-1)\pi y}{w}}{(2k-1) \sinh \frac{(2k-1)\pi h}{w}}$$

148



روش اجزای محدود اسکالر

برای حل به روش اجزای محدود از فرآیندی مشابه آنچه ذکر شد استفاده می کنیم. این کار توسط کد نوشته شده در نرم افزار مطلب انجام شد و نتایج آن به صورت زیر است.



149

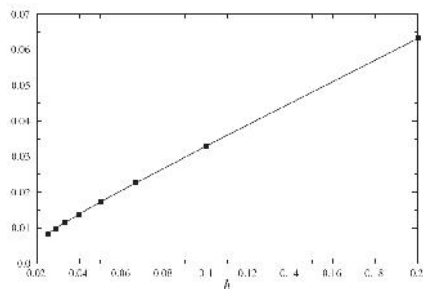


روش اجزای محدود اسکالر

معیار زیر را می توان به عنوان خطای این روش عددی در نظر گرفت.

$$\text{error} = \sqrt{\frac{1}{N_p} \sum_{i=1}^{N_p} (u_i^c - u_i^n)^2}$$

نمودار زیر رابطه بین خطای روش عددی و اندازه مش ها را نشان می دهد.



150



روش اجزای محدود برداری

در برخی از کاربردها استفاده از روش اجزای محدود اسکالر دارای نواقصی است که برای رفع آن می توان از روش اجزای محدود برداری استفاده کرد. برخی از این نواقص به شرح زیر است:

- ❖ حاصل شدن جواب های غیر فیزیکی که برخی از شرایط مسئله را ارضا نمی کند.
- ❖ نامناسب بودن در برخورد با شرایط مرزی در مرز بین دو محیط و سطوح هادی
- ❖ منفرد شدن میدان در برخی از لبه ها و گوشه ها در دی الکتریک ها و هادی ها

هنگام بروز این مشکلات می توان از روش اجزای محدود برداری به جای اسکالر استفاده کرد.

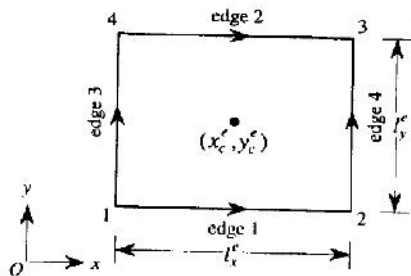
151



روش اجزای محدود برداری

تفاوت اصلی روش اجزای محدود برداری و اسکالر در نحوه تعریف توابع درون یابی و نوع المان هایی است که برای گسسته سازی سطح مورد استفاده قرار می گیرد. در ادامه دو المان سطح مستطیلی و مثلثی مورد بررسی قرار می گیرد.

۱- المان سطح مستطیلی:



152



روش اجزای محدود برداری

تابع درون یابی برای مولفه های میدان در هر نقطه به صورت زیر قابل تعریف است.

$$E_x^e = \frac{1}{\ell_y^e} \left(y_c^e + \frac{\ell_y^e}{2} - y \right) E_{x1}^e + \frac{1}{\ell_y^e} \left(y - y_c^e + \frac{\ell_y^e}{2} \right) E_{x2}^e$$

$$E_y^e = \frac{1}{\ell_x^e} \left(x_c^e + \frac{\ell_x^e}{2} - x \right) E_{y1}^e + \frac{1}{\ell_x^e} \left(x - x_c^e + \frac{\ell_x^e}{2} \right) E_{y2}^e$$

بنابراین می توان میدان در داخل ناحیه را به صورت زیر بیان کرد.

$$\mathbf{E}^e = \sum_{i=1}^4 \mathbf{N}_i^e E_i^e$$

که در این رابطه

$$\mathbf{N}_1^e = \frac{1}{\ell_y^e} \left(y_c^e + \frac{\ell_y^e}{2} - y \right) \hat{x}$$

153



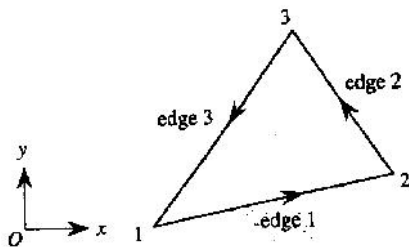
روش اجزای محدود برداری

$$\mathbf{N}_2^e = \frac{1}{\ell_y^e} \left(y - y_c^e + \frac{\ell_y^e}{2} \right) \hat{x}$$

$$\mathbf{N}_3^e = \frac{1}{\ell_x^e} \left(x_c^e + \frac{\ell_x^e}{2} - x \right) \hat{y}$$

$$\mathbf{N}_4^e = \frac{1}{\ell_x^e} \left(x - x_c^e + \frac{\ell_x^e}{2} \right) \hat{y}$$

۲- المان مثلثی

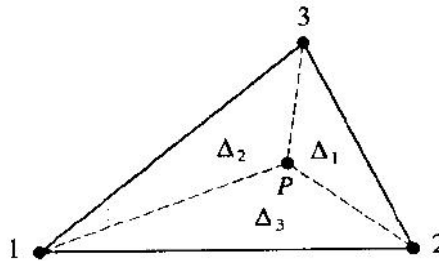


154



روش اجزای محدود برداری

از آنجایی که در المان مثلثی اضلاع ممکن است در راستای محوره‌های مختصات نباشند، بنابراین بسط مولفه‌های میدان بر اساس بردارهای موجود بر لبه‌های مثلث کار ساده‌ای نیست. برای حل این مشکل یک دستگاه مختصات جدید به نام دستگاه مختصات ناحیه تعریف می‌کنیم.



155



روش اجزای محدود برداری

مساحت مثلث ایجاد شده به وسیله نقطه دلخواه P به صورت زیر تعریف می‌شود.

$$\Delta_1^e = \frac{1}{2} \begin{vmatrix} 1 & x & y \\ 1 & x_2^e & y_2^e \\ 1 & x_3^e & y_3^e \end{vmatrix}$$

$$= \frac{1}{2} [(x_2^e y_3^e - x_3^e y_2^e) + x(y_2^e - y_3^e) + y(x_3^e - x_2^e)]$$

$$L_1^e = \frac{\Delta_1^e}{\Delta^e} = \frac{1}{2\Delta^e} (a_1^e + b_1^e x + c_1^e y)$$

به طور مشابه

$$L_2^e = \frac{\Delta_2^e}{\Delta^e} = \frac{1}{2\Delta^e} (a_2^e + b_2^e x + c_2^e y)$$

$$L_3^e = \frac{\Delta_3^e}{\Delta^e} = \frac{1}{2\Delta^e} (a_3^e + b_3^e x + c_3^e y)$$

156



روش اجزای محدود برداری

بنابراین هر نقطه در داخل المان را در دستگاه مختصات ناحیه به صورت زیر می توان بیان کرد.

$$\begin{Bmatrix} 1 \\ x \\ y \end{Bmatrix} = \begin{bmatrix} 1 & 1 & 1 \\ x_1^e & x_2^e & x_3^e \\ y_1^e & y_2^e & y_3^e \end{bmatrix} \begin{Bmatrix} L_1^e \\ L_2^e \\ L_3^e \end{Bmatrix}$$

حال با استفاده از دستگاه مختصات ناحیه می توانیم توابه برداری پایه را برای المان مثلثی تعریف کنیم.

$$\mathbf{N}_1^e = (L_1^e \nabla L_2^e - L_2^e \nabla L_1^e) \ell_1^e$$

$$\mathbf{N}_2^e = (L_2^e \nabla L_3^e - L_3^e \nabla L_2^e) \ell_2^e$$

$$\mathbf{N}_3^e = (L_3^e \nabla L_1^e - L_1^e \nabla L_3^e) \ell_3^e$$

$$\mathbf{E}^e = \sum_{i=1}^3 \mathbf{N}_i^e E_i^e$$

157



روش اجزای محدود برداری

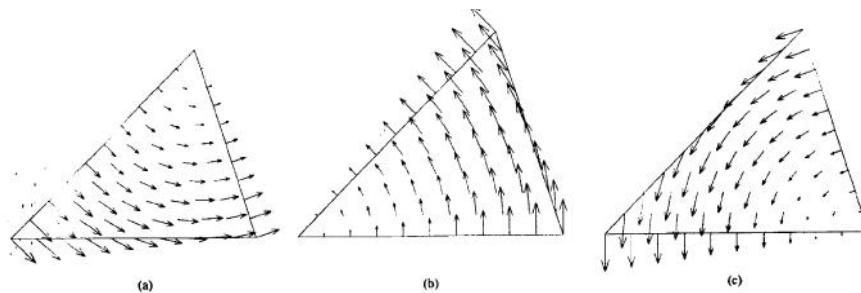


Fig. 8.3 Vector basis functions for a triangular element. (a) \mathbf{N}_1^e . (b) \mathbf{N}_2^e . (c) \mathbf{N}_3^e .

158



روش اجزای محدود در حوزه زمان

در سال های اخیر از روش اجزای محدود در حوزه زمان برای تحلیل برخی از مسائل الکترومغناطیس استفاده شده است. برای توضیح این روش از حل یک مثال خاص استفاده می کنیم.
میدان های الکتریکی ایجاد شده توسط یک منبع جریان به صورت زیر قابل بیان است.

$$\nabla \times \left[\frac{1}{\mu} \nabla \times \mathbf{E}(\mathbf{r}, t) \right] + \epsilon \frac{\partial^2 \mathbf{E}(\mathbf{r}, t)}{\partial t^2} + \sigma \frac{\partial \mathbf{E}(\mathbf{r}, t)}{\partial t} = - \frac{\partial \mathbf{J}_i(\mathbf{r}, t)}{\partial t} \quad \mathbf{r} \in V$$

شرایط مرزی این مسئله نیز از نوع شرایط مرزی مخلوط است که به صورت زیر قابل بیان است.

$$\hat{n} \times \left[\frac{1}{\mu} \nabla \times \mathbf{E}(\mathbf{r}, t) \right] + Y \frac{\partial}{\partial t} [\hat{n} \times \hat{n} \times \mathbf{E}(\mathbf{r}, t)] = \mathbf{U}(\mathbf{r}, t) \quad \mathbf{r} \in S$$

159



روش اجزای محدود در حوزه زمان

فورمولاسیون ضعیف این معادله دیفرانسیل به صورت زیر قابل بیان است.

$$\begin{aligned} & \iiint_V \left\{ \frac{1}{\mu} [\nabla \times \mathbf{N}_i(\mathbf{r})] \cdot [\nabla \times \mathbf{E}(\mathbf{r}, t)] + \epsilon \mathbf{N}_i(\mathbf{r}) \cdot \frac{\partial^2 \mathbf{E}(\mathbf{r}, t)}{\partial t^2} \right. \\ & \quad \left. + \sigma \mathbf{N}_i(\mathbf{r}) \cdot \frac{\partial \mathbf{E}(\mathbf{r}, t)}{\partial t} + \mathbf{N}_i(\mathbf{r}) \cdot \frac{\partial \mathbf{J}_i(\mathbf{r}, t)}{\partial t} \right\} dV \\ & + \iint_S \left\{ Y [\hat{n} \times \mathbf{N}_i(\mathbf{r})] \cdot \frac{\partial}{\partial t} [\hat{n} \times \mathbf{E}(\mathbf{r}, t)] + \mathbf{N}_i(\mathbf{r}) \cdot \mathbf{U}(\mathbf{r}, t) \right\} dS = 0 \end{aligned}$$

که در این رابطه

$$\mathbf{E}(\mathbf{r}, t) = \sum_{j=1}^N u_j(t) \mathbf{N}_j(\mathbf{r})$$

160



روش اجزای محدود در حوزه زمان

با جایگذاری در رابطه و ساده سازی آن

$$[T] \frac{d^2 \{u\}}{dt^2} + ([R] + [Q]) \frac{d\{u\}}{dt} + [S] \{u\} + \{f\} = \{0\}.$$

که در این رابطه

$$T_{ij} = \iiint_V \epsilon \mathbf{N}_i(\mathbf{r}) \cdot \mathbf{N}_j(\mathbf{r}) dV$$

$$R_{ij} = \iiint_V \sigma \mathbf{N}_i(\mathbf{r}) \cdot \mathbf{N}_j(\mathbf{r}) dV$$

$$Q_{ij} = \iint_S Y [\hat{n} \times \mathbf{N}_i(\mathbf{r})] \cdot [\hat{n} \times \mathbf{N}_j(\mathbf{r})] dS$$

$$S_{ij} = \iiint_V \frac{1}{\mu} [\nabla \times \mathbf{N}_i(\mathbf{r})] \cdot [\nabla \times \mathbf{N}_j(\mathbf{r})] dV$$

161



روش اجزای محدود در حوزه زمان

برای حل این معادله از تعریف مشتق مرکزی استفاده می کنیم.

$$\frac{du}{dt} \approx \frac{u^{n+1} - u^{n-1}}{2\Delta t}$$

$$\frac{d^2 u}{dt^2} \approx \frac{u^{n+1} - 2u^n + u^{n-1}}{(\Delta t)^2}$$

باجایگذاری در معادله اصلی فرم بازگشتی آن مشخص می شود.

$$\left\{ \frac{1}{(\Delta t)^2} [T] + \frac{1}{2\Delta t} [T_\sigma] \right\} \{u\}^{n+1} = \left\{ \frac{2}{(\Delta t)^2} [T] - [S] \right\} \{u\}^n - \left\{ \frac{1}{(\Delta t)^2} [T] - \frac{1}{2\Delta t} [T_\sigma] \right\} \{u\}^{n-1} - \{f\}^n$$

162



روش اجزای محدود در حوزه زمان

تنها نکته باقیمانده بررسی شرط پایداری این معادله است. برای انجام این کار یک حالت خاص که در مسئله تلفات وجود ندارد و بنابراین $[T_r] = \vec{0}$ انتخاب شده است را مورد بررسی قرار می دهیم.

$$\frac{1}{(\Delta t)^2} [T] \{u\}^{n+2} - \left\{ \frac{2}{(\Delta t)^2} [T] - [S] \right\} \{u\}^{n+1} + \frac{1}{(\Delta t)^2} [T] \{u\}^n = -\{f\}^{n+1}.$$

با اعمال تبدیل Z بر روی این معادله

$$\frac{1}{(\Delta t)^2} [T] z^2 \{\tilde{u}\} - \left\{ \frac{2}{(\Delta t)^2} [T] - [S] \right\} z \{\tilde{u}\} + \frac{1}{(\Delta t)^2} [T] \{\tilde{u}\} = 0$$

163



روش اجزای محدود در حوزه زمان

و یا به فرم ساده تر

$$-\frac{(z-1)^2}{z} \{\tilde{u}\} = (\Delta t)^2 [T]^{-1} [S] \{\tilde{u}\}$$

$-(z-1)^2/z$ در واقع مقدار ویژه ماتریس $(\Delta t)^2 [T]^{-1} [S]$ است. بنابراین

$$\lambda = -(z-1)^2/z \quad \text{or} \quad (z-1)^2 + \lambda z = 0.$$

در نتیجه شرط پایداری را به صورت زیر می توان بیان کرد.

$$\Delta t \leq \frac{\sqrt{\lambda_{\max}}}{\sqrt{\rho([T]^{-1}[S])}}$$

164